

ДНЕПРОПЕТРОВСКИЙ
ВЕЧЕРНИЙ МЕТАЛЛУРГИЧЕСКИЙ ИНСТИТУТ

Проф. Ч. Э. ГЕНДРИХОВСКИЙ

ТЕОРИЯ И РАСЧЕТ
ЦЕНТРОБЕЖНОГО НАСОСА



ИЗДАНИЕ ПРОФКОМА ДНЕПРОПЕТРОВСКОГО ВЕЧЕРНЕГО
МЕТАЛЛУРГИЧЕСКОГО ИНСТИТУТА

1930

ДНЕПРОПЕТРОВСК

1930

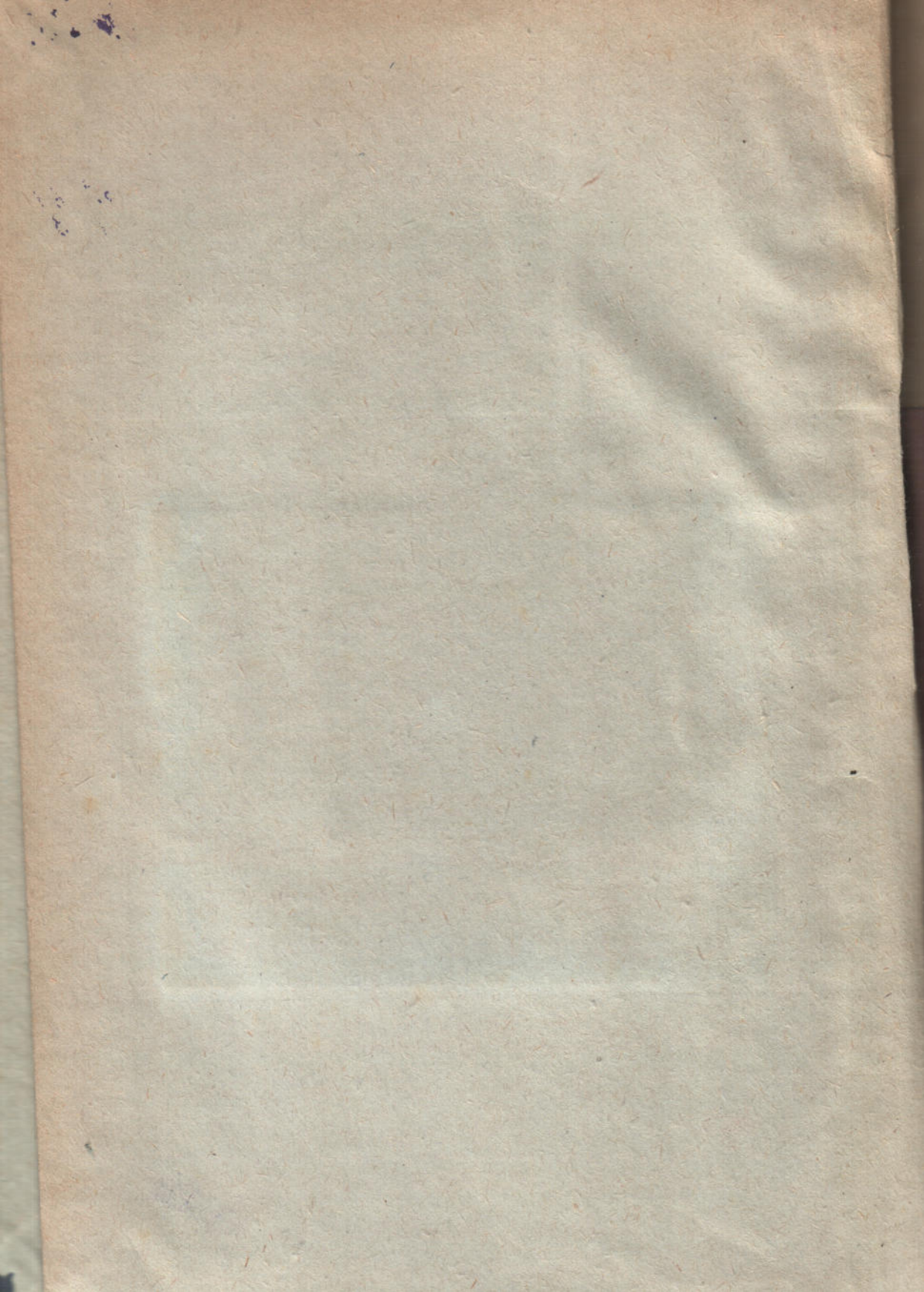
ПОВЕРНІТЬ КНИЖКУ НЕ ПІЗНІШЕ
зазначеного тут терміну.

11894

Київ, Окрліт 01647, друк. Штад. 45 з.338-29 р.—600 т.

Опрацював бібліотечний колектор
Держвидаву РСФРР, Київ, вул. Борисівська № 38.





Замеченные опечатки:

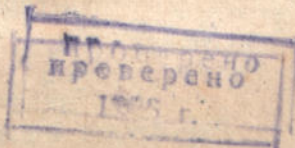
Страница	Строка	НАПЕЧАТАНО	ДОЛЖНО БЫТЬ
23	11 св.	Значение	Значения
27 фиг. 7	Слева от точки <i>A</i>	<i>H'n</i>	<i>H'm</i>
39	2 св.	см. фиг. 8 и 9	фигура 9
65	Крайний правый мас- штаб	—	внизу η
71	6 св.	мощности	мощностей

ДНЕПРОПЕТРОВСКИЙ
ВЕЧЕРНИЙ МЕТАЛЛУРГИЧЕСКИЙ ИНСТИТУТ

Проф. Ч. Э. ГЕНДРИХОВСКИЙ

621.6
Г-34

ТЕОРИЯ И РАСЧЕТ
ЦЕНТРОБЕЖНОГО НАСОСА



ИЗДАНИЕ ПРОФКОМА ДНЕПРОПЕТРОВСКОГО ВЕЧЕРНЕГО
МЕТАЛЛУРГИЧЕСКОГО ИНСТИТУТА

1930

ДНЕПРОПЕТРОВСК

1930

О ГЛАВЛЕНИЕ

	Стр.
Предисловие автора	1
Общее понятие о центробежном насосе	2
Основные уравнения работы	4
Влияние углов наклона скоростей и лопаток	18
Построение рабочих характеристик	25
Влияние изменения числа оборотов насоса	35
Схема расчета ступенчатого центробежного насоса	38
Проверка размеров вала насоса на критическое число оборотов .	46
Способ построения лопаток	49
Построение спирали кожуха	51
Примерный числовой расчет ступенчатого центробежного насоса	56

ПРЕДИСЛОВИЕ.

Недостаток пособий на русском языке по расчёту центробежных насосов, играющих в современной промышленности видную роль, побудило автора изложить краткую теорию центробежного насоса и схему его расчета. -

Теория изложена, придерживаясь метода французского профессора С. Номеф, лабораторные опыты которого подтвердили правильность его теоретических положений; изложение иллюстрировано построением всех характеристик работы насоса. Автор надеется, что приведенный здесь математический анализ явлений, происходящих в насосе, облегчит читателю выбор необходимых данных при проектировании. Помещенный в конце труда примерный числовой расчет ступенчатого центробежного насоса упрощает применение изложенной теории на практике. -

Автор считает долгом выразить свою благодарность Профкому Днепропетровского Вечернего Рабочего Металлургического Института за содействие при издании настоящего труда и в особенности студенту М. Я. ЮЩКОВУ, принявшему на себя большой труд по организации этого издания и студенту А. К. КЛИНГЕРУ за большой труд по вычерчиванию чертежей для этого издания.

Пособием при составлении настоящего труда служили:

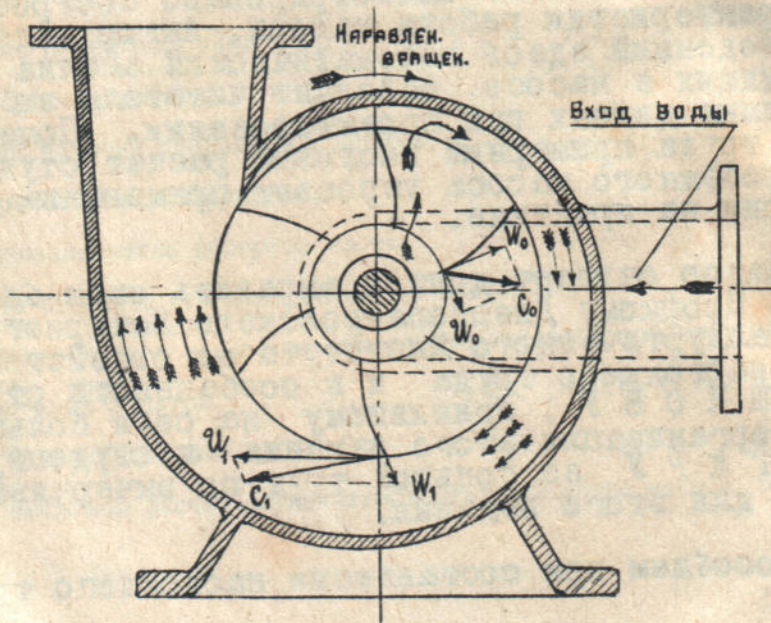
Osterdag:	"Die	Turbocompressoren"	изд. 1926 г.
Ch. Наноэ:	"Les	pompes centrifuges"	"
L. Quandt:	"Die	Zentrifugalpumpen"	1927 г.
Ch. Наноэ:	"Les	pompes centrifuges a haute pression"	"
Matthiessen und			
Hartmann und			
Sleiderer:	"Die	Fuchslocher: "Die Pumpen"	"
Проф. Есьман - "		Капке:	1926 г.
" Бурдаков - "		Кreiselpumpen"	1924 г.
		Центробежные насосы"	изд. 1926 г.
		Из практики с центробежными насосами"	1925 г.

Проф. Ч. ГЕНДРИХОВСКИЙ. 1/III-1930г.
Днепропетровск.

ТЕОРИЯ ЦЕНТРОБЕЖНОГО НАСОСА

Общее понятие о центробежном насосе.

Подача воды центробежными насосами основана на превращении скоростного напора, развиваемого вращающимся колесом, в давление, преодолевающее напор подаваемой воды. схематических чертежей / см. фиг. I/



Фиг. 1.

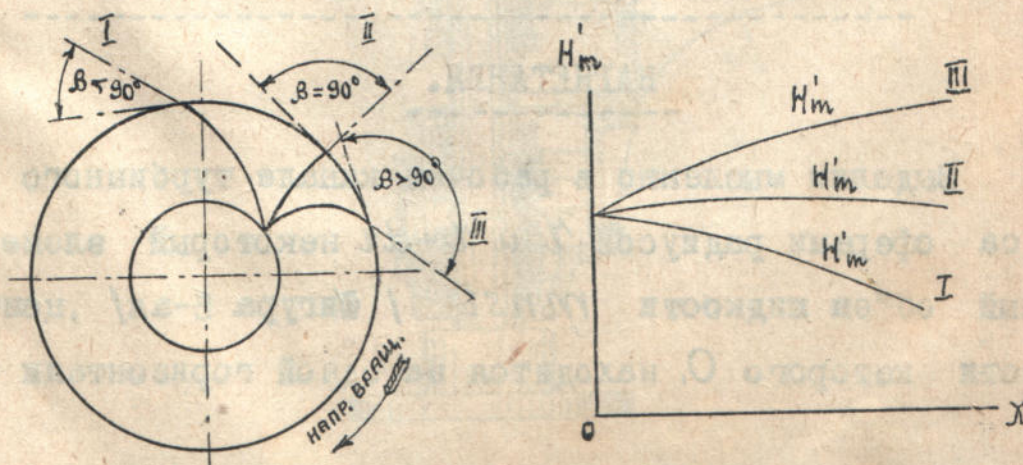
гко усмотреть, что скоростной напор создается теми центробежными силами, которые развиваются в частичках жидкости, получающих быстрое вращение в турбине насоса, а жидкость поступает под давлением наружной атмосферы,

создающей абсолютную скорость C_0 входа воды на лопатку колеса.

Подхваченная окружной скоростью U_0 вращения лопатки частица жидкости дальше движется с относительной скоростью W_0 по каналу турбинного колеса.

По мере своего движения под влиянием все возрастающей окружной скорости частица жидкости достигает выхода из канала и оставляет рабочее колесо с новыми скоростями: абсолютной выхода C_1 , скружной U_1 , и относительной W_1 . Величина и направление этих скоростей зависят от числа оборотов насоса и от формы кривых, образующих лопатки турбинного колеса.

С другой стороны от величины скоростей и их направления зависит высота подачи жидкости или создаваемый насосом напор.



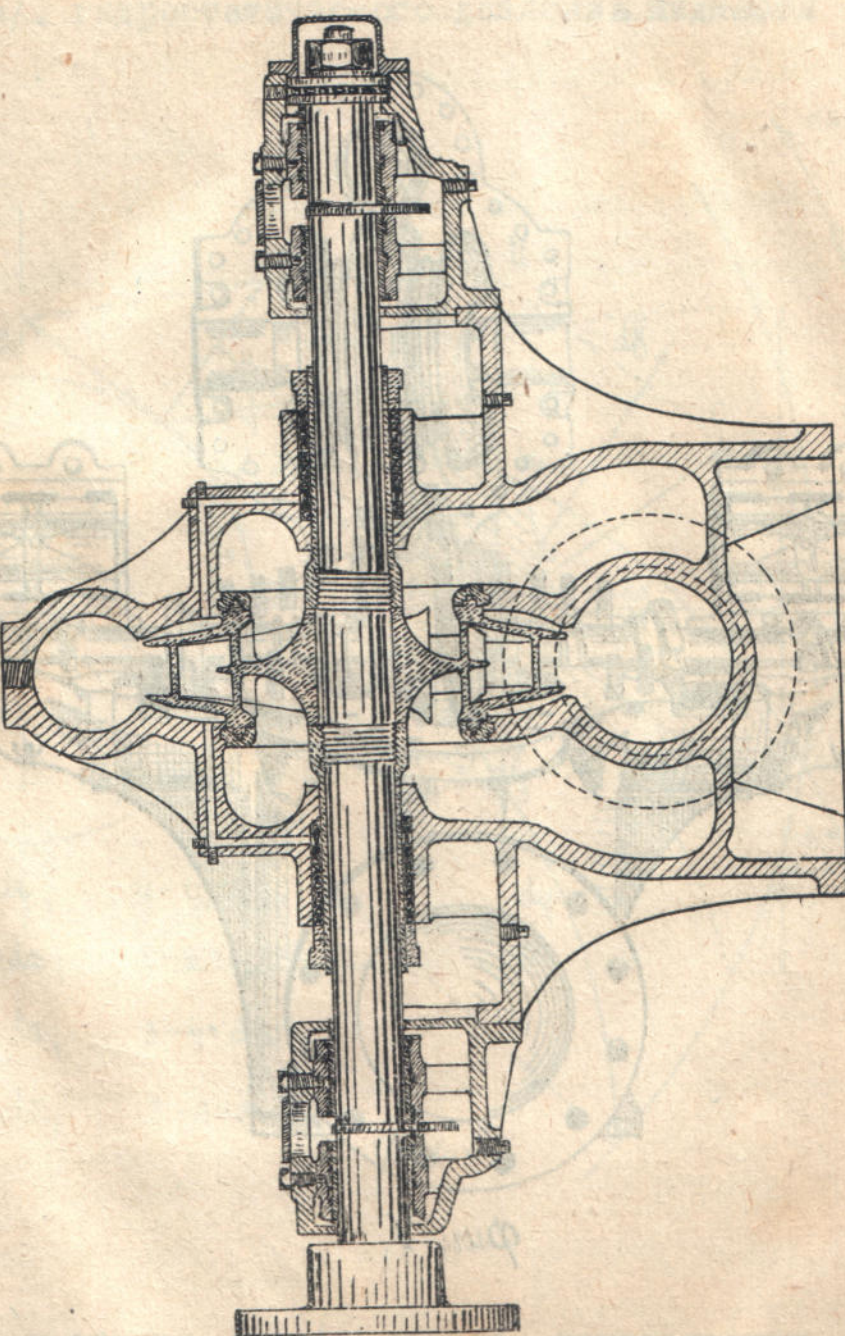
фиг. 2.

Фигура 2 иллюстрирует вышеизложенное: лопатка, согнутая назад по направлению вращения, дает кривую апоров I-ю с постепенно падающими ординатами; турбина с радиально оканчивающимися лопатками создает более высокий равномерный напор по кривой II, и, наконец, лопатка, изогнутая вперед по вращению колеса, дает кривую III-ю максимальных напоров при том же постоянном числе оборотов.

Тесная зависимость между формой лопатки и высотой подачи лучше всего вскрывается математическим анализом всех условий движения жидкости в рабочем колесе насоса. Прекрасное конструктивное оформление насоса американской фирмой Гульд приведено на фигурах 3 и 4.

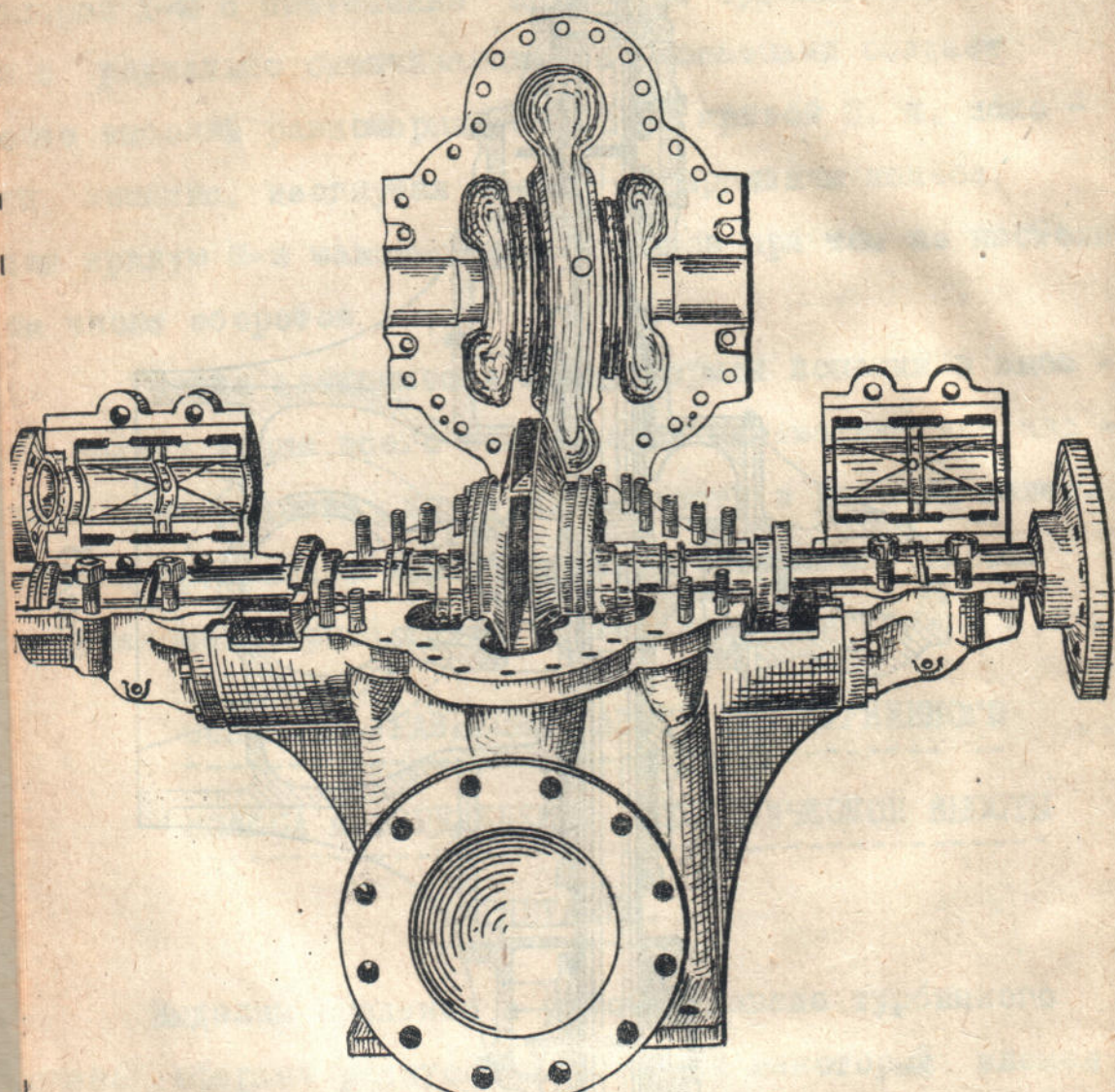
ОСНОВНЫЕ УРАВНЕНИЯ РАБОТЫ ДЛЯ ТУРБИННОГО
КОЛЕСА И ОПРЕДЕЛЕНИЕ ТЕОРЕТИЧЕСКОЙ ВЫСОТЫ
НАГНЕТАНИЯ.

Выделим мысленно в рабочем канале турбинного колеса сферами радиусов γ и $\gamma + d\gamma$ некоторый элементарный объем жидкости m_{nst} / Фигура 5-ая/, центр якости которого O , находится на одной горизонтали с



KUN OTOSHIMI KARABE NO AMERIKAI SHOKUIN

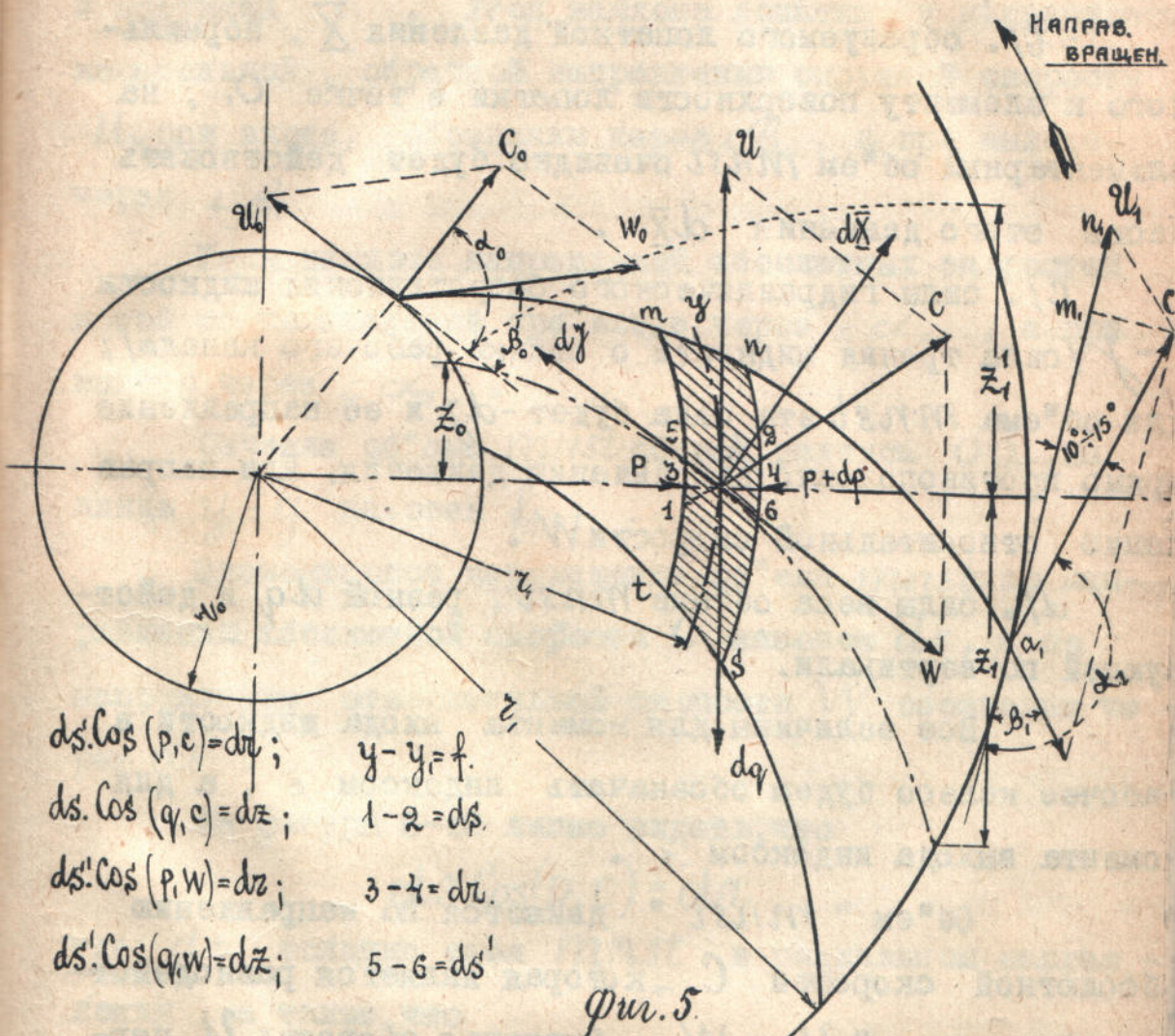
центром рабочего колеса - О. Этот об"ем находится



фиг. 4.

действием следующих сил, имеющих место при

вращении колеса с некоторым постоянным числом обо-
ротов а/. гидростатического давления жидкости



с лева и давления $p + dp$ справа, направленных по

радиусу, так как они образованы центробежной силой частиц жидкости; при входе в колесо это давление обозначим p_0 , а при выходе p_1 .

6/. образуемого лопаткой давления \bar{X} , нормального к элементу поверхности лопатки в точке O ; на элементарный об'ем m_{nst} очевидно будет действовать часть этого давления $d\bar{X}$.

C/. силы гидравлического сопротивления жидкости $-f$ /сила трения жидкости о стенки рабочего канала/; для об'ема m_{nst} эта сила будет $-df$ и ее направление прямо противоположно направлению движения, или направлению относительной скорости W .

d/. силы веса об'ема m_{nst} , равной dq и действующей по вертикали.

Все величины для момента входа жидкости в рабочее колесо будем обозначать индексом 0 , а для момента выхода индексом 1 .

Об'ем " m_{nst} " движется по направлению абсолютной скорости C , которая является равнодействующей скоростей U и W . Окружающая скорость U перпендикулярна к радиусу в точке O , а относительная скорость W касательна к кривой лопатки и перпендикулярна к силе $d\bar{X}$.

Скорости входа жидкости в рабочее колесо будут: W_0 , U_0 и C_0 ; при выходе W_1 , U_1 и C_1 .

Обозначим радиусы турбинного колеса: внутренний r_0 и наружный r_1 . Угол наклона лопатки к направлению касательной, обратной направлению окружной скорости U_0 при входе, обозначим через β_0 , а при выходе через β_1 .

Углы наклона направлений абсолютных скоростей к той же касательной при входе через α_0 , а при выходе через α_1 .

Сечение об'ема m_{nst} сферой радиуса OO' , по линии $Y-Y'$ назовем f .

Элементарное перемещение об'ема m_{nst} по направлению абсолютной скорости C назовем ds , а по направлению относительной скорости W обозначим через ds' .

Из фигуры 5-ой легко видеть, что

$$ds \cos(p, C) = dr$$

где: dr толщина слоя m_{nst} в радиальном направлении, а также, что

$$ds \cos(q, C) = dz$$

Из $\Delta 1, 5, 6$ аналогично ясно, что

$$ds' \cos(p, W) = dr \text{ и } ds' \cos(q, W) = dz$$

Ординаты \bar{z}_0 и \bar{z}_1 обозначают высоты начала и конца оси канала, а ордината \bar{z}'_1 - воображаемая точка приложения абсолютной скорости выхода C , после перемещения об"ема m_{nst} к моменту выхода из канала.

Применим к движущемуся об"ему m_{nst} теорему механики, гласящую, что сумма проекций всех сил на данное направление равна произведению из массы тела на сумму проекций его ускорений на то же направление, что математически изобразится:

$$\sum_{\text{пр.}}^n \mathcal{P} = m \cdot \sum_{\text{пр.}} C \dots \dots \dots [1]$$

Здесь: m масса, а C ускорение.

Составим это уравнение для об"ема m_{nst} при движении его по направлению абсолютной скорости C :

проекция давления p на направление скор. C

$$[p f_i - (p + dp) f_i] \cos(p, C)$$

проекция давления лопатки

$$d\bar{x} \cos(\bar{x}, C)$$

проекция силы трения

$$dy \cos(y, C)$$

проекция силы веса

$$dq \cos(q, C)$$

Проекция ускорения абсолютной скорости

$$\text{пр. } C = \frac{dC}{dt} \quad \text{а масса об"ема } m_{nst} = \frac{dq}{g}$$

$$\text{т.е.: } g = 9,81 \text{ mtr/sec}^2$$

Следы, действующие вправо считаем положительными, а влево отрицательными.

Уравнение /1/ примет вид: $[pf_i - (p+dp)f_i] \cos(p,c) + d\bar{X} \cos(\bar{X},c) - d\bar{Y} \cos(\bar{Y},c) - dq \cos(q,c) = \frac{dq}{g} \cdot \frac{dc}{dt}$ [2]

Умножая уравнение /2/ на перемещение ds и деля на вес dq , получим дифференциальное уравнение работы для I кгр. жидкости:

$$\frac{[pf_i - (p+dp)f_i] ds \cos(p,c)}{dq} + \frac{d\bar{X} ds \cos(\bar{X},c)}{dq} - \frac{d\bar{Y} ds \cos(\bar{Y},c)}{dq} - \frac{dq ds \cos(q,c)}{dq} = \frac{dq}{g} \cdot \frac{dc}{dq} \cdot \frac{ds}{dt} [3]$$

Преобразуем уравнение /3/ для приведения его к виду, удобному для интегрирования. Прежде всего заметим, что вес об"ема m_{inst} можно выразить, пользуясь удельным об"емом жидкости - $\sqrt{\frac{m^3}{kg}}$, так как

$$\frac{fdx}{V} = dq; \text{ откуда } f = \frac{dav}{dr} [4]$$

Выше было указано, что

$$ds \cos(p,c) = dr \text{ и } ds \cos(q,c) = dz [5]$$

Величину элементарной работы лопатки на I кгр. обозначим через dT_i , т.е.

$$\frac{d\bar{X} ds \cos(\bar{X},c)}{dq} = dT_i$$

Величину элементарной работы сил трения на I кгр.

обозначим dT_f , т.е.

$$\frac{d\gamma \cdot ds \cos(\gamma, c)}{dq} = dT_f$$

Правую часть уравнения /3/ можно представить в виде

$$\frac{dq}{g} \cdot \frac{dc \cdot ds}{dq \cdot dt} = \frac{1}{g} \frac{ds}{dt} dc = \frac{1}{g} C dc$$

так как $\frac{ds}{dt} = C$, как первая производная пути по времени.

После подстановки всех вышеприведенных выражений уравнение /3/ примет вид :

$$-\frac{dp \cdot ds \cos(p, c) f}{dq} + dT_i - dT_f - ds \cos(q, c) = \frac{1}{g} C dc$$

или

$$-\frac{dp \cdot dr \frac{dq}{dr} V}{dr \cdot dq} + dT_i - dT_f - dz = \frac{1}{g} C dc$$

или

$$-dp \cdot r + dT_i - dT_f - dz = \frac{1}{g} \cdot C dc \dots [6]$$

Интегрируем уравнение /6/ в пределах работы колеса, т.е. от момента входа жидкости в колесо до момента выхода

$$\int_{p_0}^{p_i} -V dp + \int_0^{r_i} dT_i - \int_0^{r_f} dT_f - \int_{z_0}^{z'} dz = \frac{1}{g} \int_{c_0}^c C dc$$

Результат интегрирования дает :

$$-V(p_i - p_0) + T_i - T_f - (z' - z_0) = \frac{C_i^2 - C_0^2}{2g} \dots [7]$$

Приписав мысленно к каждому члену уравнения величину - I кгр., получим уравнение работ, где в то же время каждый из членов представляет определенную высоту в метрах водяного столба. Уравнение /7/ связывает теоретическую высоту напора T_i с гидростатическим давлением $-V(p - p_0)$, напором T_f потерянным на гидравлическое сопротивление в насосе, и скоростными напорами абсолютных скоростей.

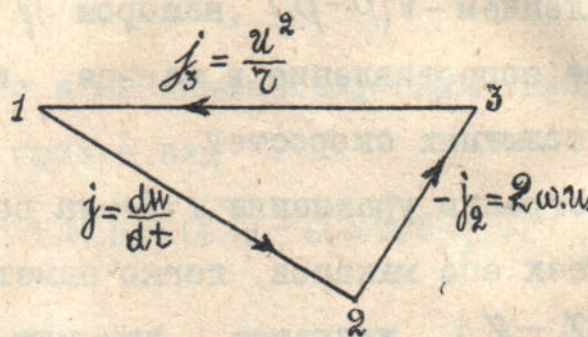
Распространив уравнение /7/ на все рабочее колесо для всех его каналов, легко заметить, что при этом член $(\chi' - \chi_0)$ исчезнет, так как всегда в симметрично расположенному канале противоположной стороны колеса окажется идентичная величина с обратным знаком, что в свою очередь обозначает полное равенство работ сил веса для правой и левой сторон рабочего колеса; окончательно для всего рабочего колеса имеет место уравнение вида :

$$-V(p - p_0) + T_i - T_f = \frac{C^2 - C_0^2}{2g} \dots\dots\dots [8]$$

Для исключения из уравнения /8/ неопределенной пока величины T_f , составим второе уравнение проекций сил, но проектировать силы будем на новое направление относительной скорости W .

$$[pf_i - (p + dp)f_i] \cos(p, w) + d\bar{X} \cos(\bar{X}, w) - dy \cos(j, w) - \\ dq \cos(q, w) = \frac{d\omega}{g} (np.j_1 + np.j_2 + np.j_3) \dots [9]$$

Относительное движение об"ема m_{nst} теперь обладает тремя ускорениями ; /см. фиг. 6 /



фиг. 6.

I/. Ускорением относительной скорости $j_1 = \frac{dw}{dt}$ оно направлено по линии скорости W :

2/. Поворотным ускорением или Кориолисовым $j_2 = 2\omega u$; оно направлено перпендикулярно направлению относительной скорости W .

Здесь: ω угловая скорость , а u окружная скорость .

3/. Центростремительным ускорением

$j_3 = \frac{u^2}{r}$, направленным по радиусу к центру рабочего колеса .

Сумма проекций этих ускорений на направление скорости W дает:

$$nр. j_1 + nр. j_2 + nр. j_3 = \frac{dw}{dt} + 0 - \frac{U^2}{r} \cos(p, w)$$

и уравнение /9/ примет вид :

$$-dpf \cos(p, w) - dJ \cos(J, w) - dq \cos(q, w) = \frac{dq}{g} \left[\frac{dw}{dt} - \frac{U^2}{r} \cos(p, w) \right] \dots [10]$$

здесь член $d\bar{X} \cos(\bar{X}, w) = d\bar{X} \cos 90^\circ = 0$ и выпадает из урав. /9/ .

Преобразуем уравнение /10/ умножением на элементарн. перемещение ds' по направлению относительной скорости W в уравнение работ и делением на dq , приведем его к I кгр. жидкости .

$$\frac{-dpf \cdot ds' \cos(p, w)}{dq} - \frac{dJ \cdot ds' \cos(J, w)}{dq} - \frac{dq \cdot ds' \cos(q, w)}{dq} = \\ = \frac{dq}{g} \cdot \frac{ds'}{dq} \left[\frac{dw}{dt} - \frac{U^2}{r} \cos(p, w) \right] \dots \dots \dots [11]$$

Заметив, что $\frac{f \cdot dr}{V} = dq$; а $ds' \cos(p, w) = dr$ упростим уравнение /11/ .

$$\frac{-dp \cdot dq \cdot V \cdot dr}{dq \cdot dr} - dT_f - \frac{dq \cdot dz}{dq} = \frac{1}{g} \left[\frac{dw \cdot ds'}{dt} - \frac{U^2}{r} ds \cos(p, w) \right]$$

$$\text{или } -dpV - dT_f - dz = \frac{1}{g} \left(W dw - \frac{U^2}{r} dr \right) \dots \dots \dots [12]$$

Интегрируя в пределах входа и выхода, получим , подставив $U^2 = r^2 \cdot \omega^2$

$$\int_{z_0}^{z_i} -dpV - \int_{z_0}^{z_i} dT_f - \int_{z_0}^{z_i} dz = \frac{1}{g} \int_{W_0}^{W_i} wdW - \frac{1}{g} \int_{r_0}^{r_i} \frac{\omega^2 r^2 dr}{r}$$

После интегрирования будем иметь П-ое уравнение

$$-V(p_i - p_0) - T_f - (z_i - z_0) = \frac{W_i^2 - W_0^2}{2g} - \frac{\omega^2 r_i^2 - \omega^2 r_0^2}{2g}$$

Распространяя последнее уравнение на все каналы рабочего колеса и заменяя $\omega^2 r^2 = U^2$; а $\omega^2 r_0^2 = U_0^2$

получаем:

$$-V(p_i - p_0) - T_f = \frac{W_i^2 - W_0^2}{2g} - \frac{U_i^2 - U_0^2}{2g} \quad [13]$$

Уравнение /13/ дает возможность определить напор, потерянный в колесе на гидравлическое сопротивление.

$$T_f = \frac{U_i^2 - U_0^2}{2g} - \frac{W_i^2 - W_0^2}{2g} - V(p_i - p_0) \quad [14]$$

Вычитая уравнение /13/ из ранее выведенного /8/ и произведя сокращение подобных членов,

$$-V(p_i - p_0) + T_i - T_f = \frac{C_i^2 - C_0^2}{2g} \quad [8]$$

$$-V(p_i - p_0) \pm T_f = \frac{W_i^2 - W_0^2}{2g} \pm \frac{U_i^2 - U_0^2}{2g} \quad [13]$$

находим:

$$T_i = \frac{C_i^2 - C_0^2}{2g} + \frac{U_i^2 - U_0^2}{2g} - \frac{W_i^2 - W_0^2}{2g} \quad [15]$$

где: T_i представляет собою полную работу, которую производит рабочее колесо, поднимая 1 кгра. жидкости на высоту H_i , называемую ПОЛНЫМ ТЕОРЕТИЧЕСКИМ НАПОРОМ РАБОЧЕГО КОЛЕСА.

$$T_i = 1 \text{ кгс. м} \quad \text{килограм.метров.} \quad /16/$$

Напор H_i расходуется на преодоление всех полезных и вредных сопротивлений и может быть представлен в таком виде :

$$H_i = H_g + H_{wn} + H_{wd} + H_{ws} \quad /17/$$

Где : H_g - геодезическая высота подачи воды или разность уровней воды всасывающего колодца и наивысшей точки подъема воды .

H_{wn} - напор в метрах, необходимый для преодоления всех гидравлических сопротивлений внутри рабочего колеса.

H_{wd} - напор для преодоления гидравлических сопротивлений общих и местных во всей линии труб нагнетания, т.е. сопротивление прямых участков, колен, задвижек и т.п.

H_{ws} - напор для преодоления тех-же гидравлических сопротивлений всей линии всасывающих труб .

Так как сумма

$$H_g + H_{wd} + H_{ws} = H_m$$

где : H_m - манометрический напор, развиваемый насосом, а следовательно

$$H_i = H_m + H_{wn} \quad /18/$$

Выведенное ранее уравнение /15/ дает T_i в зависимости от скоростей входа и выхода; из него вытекает, что высота подачи будет более, если скорости относительные W_o и W_i будут близки друг другу по величине; иными словами при проектировании следует стремиться, что бы было

$$W_o = W_i \quad /19/$$

Последнее условие требует постоянства площадей сечений канала турбины от входа до выхода.

Теперь можно приступить к выводам формул, дающих зависимость величины M_i от размера углов наклона лопаток рабочего колеса и углов наклона скоростей.

ВЛИЯНИЕ УГЛОВ НАКЛОНА СКОРОСТЕЙ И

ЛОПАТОК на ВЕЛИЧИНУ ТЕОРЕТИЧЕСКОГО

НАПОРА

Из фигуры 5 легко видеть, что треугольники скоростей при входе и выходе из турбины дают возможность написать след. уравнения:

для выхода: $W_i^2 = C_i^2 + U_i^2 - 2C_iU_i \cos(180^\circ - \alpha_i) \quad /20/$

для входа: $W_o^2 = C_o^2 + U_o^2 - 2C_oU_o \cos(180^\circ - \alpha_o) \quad /21/$

но $\cos(180^\circ - \alpha_i) = -\cos\alpha_i$ и $\cos(180^\circ - \alpha_o) = -\cos\alpha_o$.

Вычитая из уравнения /20/ уравнение /21/, будем

иметь:

$$W_i^2 - W_o^2 = C_i^2 - C_o^2 + U_i^2 - U_o^2 + 2C_i U_i \cos \alpha_i - 2C_o U_o \cos \alpha_o.$$

Дели все уравнение на $2g$ и перенося члены:

$$\frac{C_i^2 - C_o^2}{2g} + \frac{U_i^2 - U_o^2}{2g} - \frac{W_i^2 - W_o^2}{2g} = -\frac{1}{g}(C_i U_i \cos \alpha_i - C_o U_o \cos \alpha_o)$$

Левая часть уравнения есть ни что иное, как ранее выведенное выражение для H_i , а потому:

$$H_i = -\frac{1}{g}[C_i U_i \cos \alpha_i - C_o U_o \cos \alpha_o] \quad /22/$$

где: $\angle \alpha_i$ и $\angle \alpha_o$ суть углы наклона абсолютных скоростей C_i и C_o к касательным в направлении, обратном вращению колеса, $g = 9,81 \text{ m/sec}^2$.
Полагая в формуле /22/ $\angle \alpha_o = 90^\circ$, при чем $\cos 90^\circ = 0$, тогда абсолютная величина H_i приобретает свое максимальное значение, а именно:

$$H_i = -\frac{C_i U_i \cos \alpha_i}{g} \quad /23/$$

Условие $\angle \alpha_o = 90^\circ$ является условием поступания жидкости в рабочее колесо по радиальному направлению. Опыт показывает, что такое направление действительно наи выгоднейшее, и при проектировании насоса необходимо обеспечить радиальность входа для нормальных условий работы, т.е. при заданной нормальной производительности. Изменение открытия регулирующей задвижки, изменяя производительность насоса, скажает в то

е время радиальное поступание жидкости , так как величина относительной скорости при входе изменится.

Влияние угла наклона абсолютной скорости выхода α_1 обнаруживает уравнение /23/ : при изменении $\angle d_1$, в пределах

$$\angle d_1 = \text{от } 0^\circ \text{ до } 90^\circ$$

косинусы этих углов являются величинами положительными и уравнение /23/ дает величину H_i отрицательную, то указывает на невозможность подачи воды насосом при этих условиях. Направление абсолютной скорости при этом или обратно вращению колеса или радиально , и сама скорость уничтожается прямым ударом о стенку корпуса насоса, что влечет за собойничтожение напора. Уравнение /23/ при $\angle d_1 = 90^\circ$ $\cos \angle d_1 = \cos 90^\circ = 0$ дает $H_i = 0$.

Только когда $\angle d_1$, становится более 90° $\cos \angle d_1$, принимает отрицательное значение, насос начинает работать , и напор H_i будет расти по мере роста $\angle d_1$, отсюда вытекает новое правило при проектировании, чтобы $\angle d_1$ получился для нормальных условий работы насоса возможно близким к 180° .

в пределе, когда $\angle \alpha_1 = 180^\circ$ и $\cos \alpha_1 = \cos 180^\circ = -1$
 то $H_i = + \frac{C_i W}{g}$, где: $g = 9,81 \text{ м.} / \text{sec}^2$

что дает для H_i максимум.

Аналогично с $\angle \alpha_1$ при работе насоса с переменной производительностью $\angle \alpha_1$ будет изменяться и при больших производительностях это вызывает сильное падение напора. Несоответственно большое открытие задвижки, влияя на величину α_1 , может вызвать отказ от работы насоса, подача воды прекратится.

Чтобы связать напор H_i с углами наклона лопаток $\angle \beta_0$ и $\angle \beta_1$ /см. фиг. 5/, преобразуем уравнение /23/, для чего воспользуемся соотношением из Δ аօи скоростей при выходе жидкости из колеса:

$$\bar{am}_1 = \bar{am}_i + \bar{m}_i n, \quad /24/$$

где: $\bar{am}_i = U_i$; $\bar{am}_1 = C_i \cos(180^\circ - \alpha_1)$; $\bar{m}_i n = W_i \cos \beta_1$;
 после подстановки в уравнение / 24/ имеем:

$$U_i = C_i \cos(180^\circ - \alpha_1) + W_i \cos \beta_1$$

но $\cos(180^\circ - \alpha_1) = -\cos \alpha_1$, а тогда

$$U_i = -C_i \cos \alpha_1 + W_i \cos \beta_1, \text{ откуда}$$

$$-C_i \cos \alpha_1 = U_i - W_i \cos \beta_1$$

Подставив последнее выражение в формулу :

$$H_i = -\frac{1}{g} C_1 U_i \cos \alpha,$$

получим H_i в зависимости от $\angle \beta_1$, в таком

виде:

$$H_i = \frac{1}{g} U_i (-C_1 \cos \alpha) =$$

$$= \frac{U_i}{g} (U_i - W_i \cos \beta_1) = \frac{U_i^2}{g} \left(1 - \frac{W_i}{U_i} \cos \beta_1 \right) \quad /25/$$

Величина отношения $\frac{W_i}{U_i}$ всецело зависит от секундной производительности насоса Q_s , так как W_i пропорционально расходу, а U_i - величина постоянная для насоса с постоянным числом оборотов.

Производительность изменяется пропорционально открытию регулирующей задвижки на линии нагнетания и степень открытия задвижки можем обозначить знаком λ , который математически выразится :

$$H_i = \frac{U_i^2}{g} \left(1 - \lambda \cos \beta_1 \right) \quad /26/$$

При установленном нормальном режиме работы насоса величину λ можно считать постоянной и тогда формула /27/ показывает, что напор H_i является функцией величины $\angle \beta_1$.

Пока угол β_1 изменяется в пределах от 0° до 90° , $\cos \beta_1$ есть величина положительная и

формула /27/ сохраняет свой вид .

При $\angle \beta_1 = 0^\circ$ и при вполне открытой задвижке,
т.е. при $X=1$, значение

$$H_i = \frac{U_i^2}{g} (1 - 1 \cos 0^\circ) = 0$$

и насос в этих условиях воды не подает .

При вполне закрытой задвижке , когда $X=0$
насос имеет холостой ход / и при любом значении $\angle \beta_1$,
давление в насосе будет:

$$H_i = \frac{U_i^2}{g} (1 - 0 \cos \beta_1) = \frac{U_i^2}{g} \text{ ---- мр.воды ст.}$$

это давление является максимальным для данных условий.

Когда значение $\angle \beta_1$ превзойдут 90° и буду-
дут расти приближаясь к 180° , то $\cos \beta_1$, станет
отрицательным и формула /27/ примет вид:

$$H_i = \frac{U_i^2}{g} (1 + X \cos \beta_1) ;$$

$$\text{где: } \beta_1' = 180^\circ - \beta_1$$

и величина напора H_i будет расти с увеличением X и $\angle \beta_1$,
В пределе, когда $X=1$ и $\beta_1=180^\circ$,
получим : $\cos \beta_1' = \cos (180^\circ - 180^\circ) = \cos 0^\circ = 1$

$$H_i = \frac{U_i^2}{g} [1 + 1 \cos 0^\circ] = \frac{U_i^2}{g} (1 + 1) = \frac{2 U_i^2}{g} ,$$

что является вообще максимальным напором для насоса.

Графически все вышеприведенные явления могут быть иллюстрированы следующей диаграммой для трех типов очертания лопатки :

I тип $-\angle \beta_1 < 90^\circ$; II тип $-\angle \beta_1 = 90^\circ$;

III тип $-\angle \beta_1 > 90^\circ$; диаграмма представляет изменение напора при открывании регулирующей задвижки / см. фиг. 2/.

Приведенный анализ показывает, что при неизменном числе оборотов насоса, когда $U_1 = \text{const}$, лопатки, имеющие изгиб в направлении вращения / при $\angle \beta_1 > 90^\circ$ / позволяют достичнуть более высоких напоров .

Все же практика построения центробежных насосов пользуется преимущественно типом I-м очертания лопатки, изогнутой против направления движения, так как этот тип обеспечивает лучший коэффициент полезного действия насоса .

Тип лопатки III вызывает сильно завихренное движение в каналах колеса, что и понижает коэффициент полезного действия насоса .

ПОСТРОЕНИЕ РАБОЧИХ ХАРАКТЕРИСТИК НА СОСА.

Характеристика производительности

Секундная производительность насоса может быть выражена также в зависимости от $\angle \beta_1$, и степени открытия задвижки $- X$:

$$Q_S = 2\pi v b_k W_1 \sin \beta_1 \quad /28/$$

где: v - наружн. радиус колеса ; b_1 - ширина выпускного канала на периферии ; $k_i = \frac{s}{s+a}$ коэффициент сужения выходного сечения лопатками , толщина которых $- a$, а шаг лопаток $- s$.

$$\text{Полагая } b_1 = i v_i ; \quad W_1 = x U_1 ; \quad v_i = \frac{30 U_1}{\pi n}$$

где : n - число оборотов в минуту ,

приводим выражение /28/ к виду :

$$Q_S = 2\pi v_i^2 i k_i x U_1 \sin \beta_1 = \frac{2\pi \cdot 30^2 U_1^2 i k_i x U_1 \sin \beta_1}{\pi^2 n^2} = \\ = \frac{1800 i k_i x U_1^3 \sin \beta_1}{\pi n^2} \quad /29/$$

Выражение /29/ содержит лишь одну переменную величину X и следовательно :

$$Q_S = f(X)$$

Откладывая по оси абсцисс величины $X = 0,1; 0,2; 0,3 \dots 1,00$ а по оси ординат секундную производительность насоса в m^3 , вычисляем по формуле /29/ величину Q_S

для любого X^2 и проводим прямую через начало координат и вычисленную ординату, и получим характеристику изменения Q_S . /см.диаграмму фиг. 7/. .

Производительность насоса увеличивается пропорционально значениям X^2 . Центробежный насос имеет нормальную производительность при определенной величине степени открытия задвижки, которую выбирают при проектировании в пределах $X = 0,3$ до $0,6$.

По заданной нормальной производительности Q_n и нормальной величине X легко пользуясь формулой /29/ определить величину $\angle \beta_1$

$$\sin \beta_1 = \frac{\pi \cdot Q_n \cdot n^2}{1800 \cdot \rho \cdot g \cdot H_1^3}$$

здесь величиной H_1 задаются, а, затем проверяют ее формулой /27/, в которой $H_i = 1,15$ до $1,2 H_m$ — гидрометрической высоты подачи; последняя обычно задана или может быть вычислена по данным проекта, пользуясь нормами гидравлических сопротивлений трубах и фасонных частях.

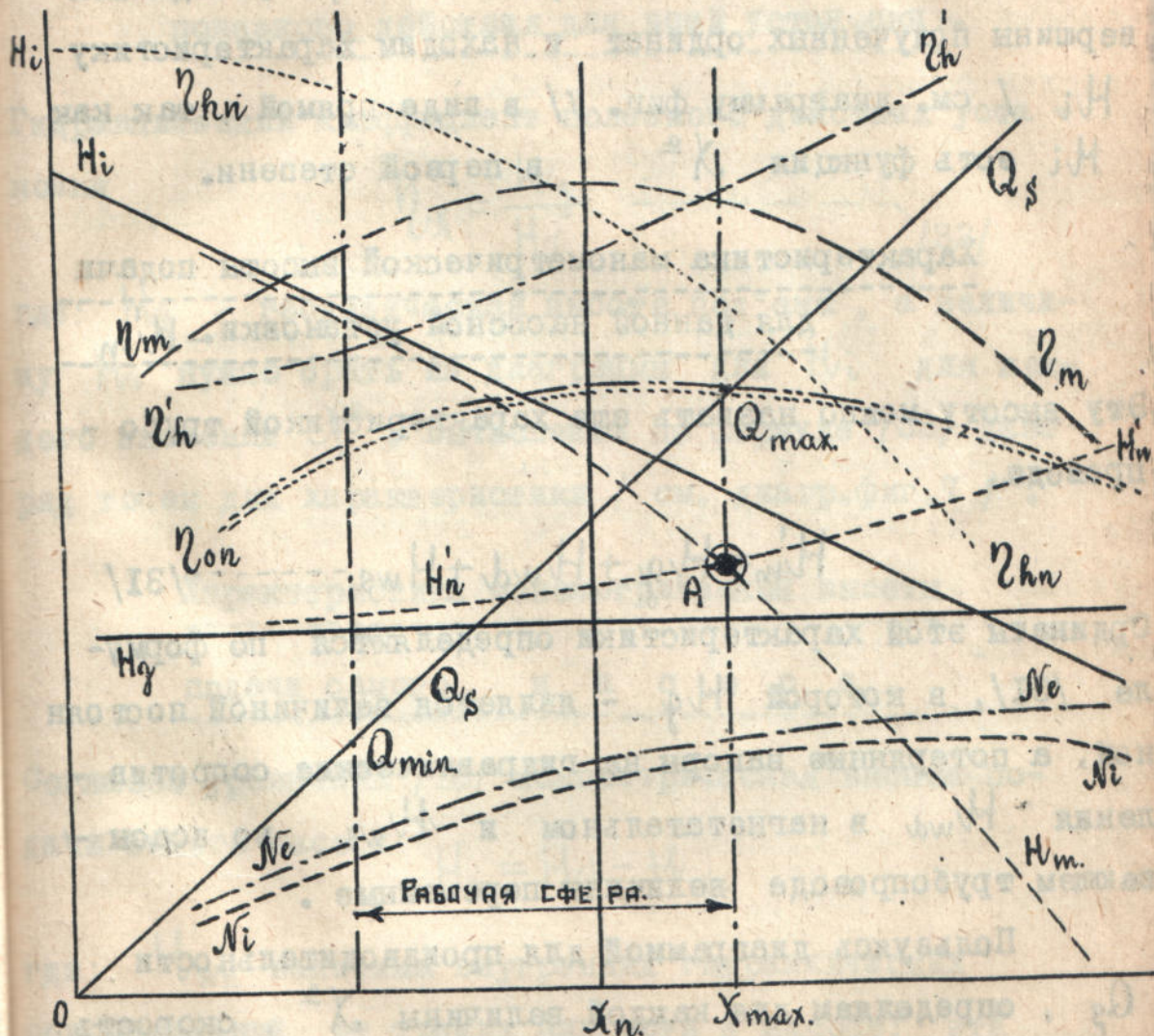
Диаметр трубопровода d определяется по нормальной производительности насоса Q_n , задавшись скоростью течения V_n воды в трубах, обычно

$$V_n = 1,5 \text{ до } 3,5 \text{ м.} / \text{sec.}$$

тогда:

$$Q_n = \frac{\pi \cdot d^2}{4} \cdot V_n; \quad d = \sqrt{\frac{4 \cdot Q_n}{\pi \cdot V_n}}$$

/30/



фиг. 7.

Характеристика теоретической высоты подачи.

Пользуясь формулой /27/ определяем два значения

H_i для $X=0$ и для $X=0,5$, соединяя

вершины полученных ординат и находим характеристику

H_i / см. диаграмму фиг. 7/ в виде прямой, так как
 H_i есть функция X^{α} в первой степени.

Характеристика манометрической высоты подачи

для данной насосной установки. H_m'

Эту высоту можно назвать еще характеристикой трубо-
проводка.

$$H_m' = H_g + H_{wd} + H_{ws} \quad /31/$$

Ординаты этой характеристики определяются по формуле /31/, в которой H_g - является величиной постоянной, а потерянные напоры на гидравлические сопротивления H_{wd} в нагнетательном и H_{ws} во всасывающем трубопроводе величины переменные.

Пользуясь диаграммой для производительности Q_s , определяем для каждой величины X^{α} , скорость течения воды по формуле :

$$V = \frac{Q_s}{\frac{\pi d^2}{4}}$$

и затем по найденной скорости потерянные напоры и по формуле /31/ соответственные H'_m / см. диагр.

Фиг. 7/

Характеристика гидравлического коэффициента

полезного действия для всей установки.

Гидравлический коэффициент полезного действия установки

$$\eta'_h = \frac{H_g}{H_i} \quad /33/$$

где: H_g - геодезическая высота подъема, а величину H_i нужно брать из диаграммы для H_i для каждого значения λ^{α} . Вычисление по формуле /33/ дает ряд точек для характеристики / см. диагр. фиг. 7 / .

Характеристика манометрической высоты

подачи самого насоса.

Согласно уравнения /18/ манометрическая высота подачи самого насоса

$$H_m = H_i - H_{wn}$$

где: H_{wn} величина внутренних гидравлических сопротивлений от трения жидкости в насосе; эта величина может быть определена по формуле /14/, а

и можно выражено в формуле Ноннелем он имеет к
именно :

$$H_{wn} = T_f = \frac{U_i^2 - U_o^2}{2g} - \frac{W_i^2 - W_o^2}{2g} - V(p_i - p_o)$$

но подсчет значений H_{wn} по этой формуле потребовал бы длинных вычислений для каждого значения X - ско-
ростей и давлений, поэтому воспользуемся прибли-
женной формулой следующего вида :

$$H_{wn} = \zeta \cdot m \cdot \frac{W_i^2}{2g} = \zeta \cdot \frac{m \cdot X^2 \cdot U_i^2}{2g} \quad /34/$$

где : ζ коэффициент сопротивления при повороте
струи, а m число поворотов в зависимости от
конструкции; X - степень открытия задвижки и U_i
окружная скорость в мтр./сек. $g = 9,81$.

Подставляя формулу /34/ значения X и вы-
числяя значения H_{wn} , определяем соответствующие
величины $H_m = H_i - H_{wn}$ и по точкам строим
характеристику манометрической высоты самого насоса.

Сопротивления внутри насоса растут с увеличе-
нием производительности и характеристика H_m быстро
падает /см. диагр. фиг. 7/

Характеристика гидравлического коэффициента
полезного действия самого насоса.

Характеристика строится по точкам, ординаты

которой вычисляется по формуле :

$$\eta_{h_n} = \frac{H_m}{H_i} \quad /35/$$

Величины H_m и H_i для всех значений X^2 берутся из диаграммы характеристик. Кривая коэффициента / см. диаг. фиг. 7/ сильно падает с открытием задвижки.

Характеристика индикаторной мощности

самого насоса .

$$N_i = \frac{1000 Q_s H_i}{75} \quad /36/$$

Подставляя данные из уже построенных характеристик для каждого X^2 , строим по точкам характеристику N_i / см. диагр. фиг. 7/. Кривая мощности сначала растет, а затем круто падает .

Характеристика механического коэффициента полезного действия насоса.

$$\eta_m = \frac{N_i}{N_i + N_o} \quad /37/$$

N_o — мощность поглощаемая трением жидкости о стени корпуса и трением вала в подшипниках и сальниках . По Ch. Напосу' эта мощность N_o может

быть определена формулой:

$$N_0 = 0,00543 U_i^3 \cdot r_i^3 + 2,8d^3 n \quad /38/$$

где: U_i - окружная скорость вращения в мтр/сек.;

r_i - наружн. радиус рабоч. колеса в мтр.;

d - диаметр вала насоса в метрах;

n - число оборотов насоса в минуту.

Диаметр вала предварительно определяется по обычной формуле на кручение:

$$d = 14,4 \sqrt{\frac{N_i}{n}} \quad /39/$$

Вычислив по формуле /38/ величину N_0 и по формуле /37/ для всех значений X^a величину η_m , строим по точкам его характеристику /см.диагр. фиг. 7/.

Характеристика эффективной мощности насоса.

$$N_e = \frac{N_i}{\eta_{h_n} \cdot \eta_m} \quad /40/$$

Построение кривой /см. диагр. фиг.7/ аналогично предыдущему.

Характеристика общего коэффициента полезного действия насоса.

$$\eta_{o.n.} = \eta_{h_n} \cdot \eta_m \quad /41/$$

Ординаты для η_{on} получаются перемножением ординат характеристик η_{hn} и η_m для каждого X^e . Горизонтальная касательная, проведённая к этой последней кривой η_{on} укажет самую выгодную степень открытия задвижки X_n , при котором насос будет иметь наилучший коэффициент полезного действия.

Характеристика общего коэффициента установки.

установки .

$$\eta'_{w} = \eta'_{h} \eta_m \quad / 42/$$

строится аналогично предыдущему.

Характеристика общей мощности установки.

$$N'_{w} = \frac{1000 \cdot 0,9 \cdot Q_s \cdot H_m}{75 \cdot \eta_m} \quad / 43/$$

Построение то же / см. диаграмму фиг. 7/

Характеристика полезной мощности установки

$$N_p = \frac{1000 \cdot 0,9 \cdot Q_s \cdot H_g}{75} \quad / 44/$$

где: 0,9 Q_s - учитывает утечку воды через неплотности кожуха и лабиринты; H_g - геодезическая высота подачи.

Эффективный коэффициент полезного действия установки, очевидно, будет:

$$\eta_{\text{eff.}} = \frac{1000 \cdot 0,9 Q_s \cdot H_g}{75 \cdot N_w} = \frac{N_p}{N_u} \quad /45/$$

Диаграмма /фиг. 7/ содержит теперь все элементы, позволяющие составить себе ясное представление о режиме работы насоса при разных условиях.

Дополнив двумя ординатами $Q_s \text{ min.}$ и $Q_s \text{ max.}$, ограничивающими рабочую сферу насоса, в пределах которой коэффициент полезного действия его мало отличается от своего максимального значения, убеждается соответсвует ли полученная рабочая сфера заданию проекта. Путем комбинации величин, входящих в расчет насоса, всегда можно добиться желательных результатов. Диаграмма характеристик дает полное представление о всех особенностях эксплоатации центробежного насоса. Легко видеть, что сравнительно небольшие отступления от расчетных нормальных условий влекут за собой сильное ухудшение коэффициента полезного действия и отражаются на потребляемой мощности.

Неправильно установленное открытие регулирующей задвижки может быть причиной с одной стороны отказа насоса от подачи на необходимую высоту, если λ

будет около 0,6 - 0,7, а с другой стороны увеличение мощности, требуемой насосом, может вызвать нагрев и горение изоляции в электромоторе насоса.

Установка насоса для подачи воды на высоту менее расчетной может вызвать аналогичное явление. Установка насоса для других размеров трубопровода, изменяя режим работы, может вызвать его порчу. Являясь машиной поддающейся строгому математическому анализу и расчету, центробежный насос требует умного с собой обращения; порча электромоторов у этих насосов обясняется отсутствием диаграмм характеристик к готовым машинам; при установке и пуске техники работают вслепую.

Влияние изменения числа оборотов насоса.

При установленном режиме величина $X = \text{const.}$ и выводенные выше зависимости можно изобразить в следующем виде:

$$H_i = \frac{U_1^2}{g} (1 - X \cos \beta) = f(U_1^2) \quad /46/$$

$$Q_s = \frac{1800 \cdot i \cdot K_1 \cdot X \cdot U_1^3 \sin \beta}{\pi n^2} = f(U_1^3) \quad /47/$$

$$N = \frac{1000 \cdot Q_s \cdot H g}{75 \cdot \eta_{\text{оп}}} = f(U_1^3) \quad /48/$$

И так напор является функцией окружной скорости во второй степени, производительность в первой степени, а мощность, требуемая насосом, в третьей степени, но так как изменение окружной скорости пропорционально изменению числа оборотов, то отсюда вытекают следующие соотношения:

$$\frac{H_1}{H_2} = \frac{n_1^2}{n_2^2}; \quad \frac{Q_{S1}}{Q_{S2}} = \frac{n_1}{n_2}; \quad \frac{N_1}{N_2} = \frac{n_1^3}{n_2^3} \quad /49/$$

Следовательно высота подачи воды изменяется пропорционально квадрату числа оборотов. Количество воды пропорционально первой степени числа оборотов, а мощность, требуемая насосом, изменяется пропорционально кубу числа оборотов.

Последнее обстоятельство следует особенно подчеркнуть и рекомендовать осторожное обращение с моторами приводных центробежных насосов, когда переменой шкивов изменяют число их оборотов; сравнительно небольшое увеличение числа оборотов может вызвать перегрузку электромотора и его порчу.

Заканчивая изложение краткой теории центробежного насоса, автор считает необходимым привести схему расчета насоса, где читатель найдет разрешение ряда детальных вопросов, связанных с проектированием центробежных насосов.

Для примерного расчета центробежного насоса автором избран тип ступенчатого насоса, требующего более сложных вычислений и не встречающегося в русской технической литературе.

— вид сбоку и вид спереди насоса с видимым зазором
— вид краев лопаток на выходе из рабочего колеса
— вид водоводов с их конструкцией и входом в насос
— вид конфигурации хвостовика насоса

— вид сбоку и вид спереди насоса с видимым зазором
— вид краев лопаток на выходе из рабочего колеса

— вид сбоку и вид спереди насоса с видимым зазором
— вид краев лопаток на выходе из рабочего колеса

— вид сбоку и вид спереди насоса с видимым зазором
— вид краев лопаток на выходе из рабочего колеса

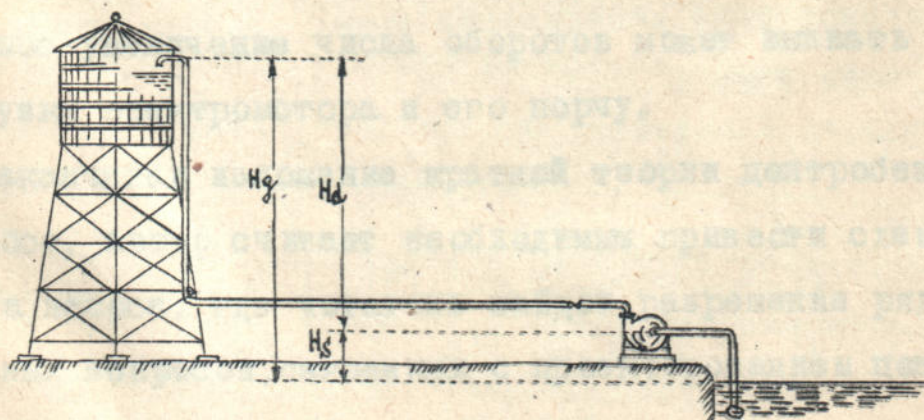
— вид сбоку и вид спереди насоса с видимым зазором
— вид краев лопаток на выходе из рабочего колеса

СХЕМА РАСЧЕТА СТУПЕНЧАТОГО ЦЕНТРОБЕЖНОГО НАСОСА.

Задание : определить основные размеры центробежного насоса, нормальная производительность которого должна быть $Q_n \text{ m}^3/\text{sec.}$, а геодезическая высота подачи воды H_g . Длина и конфигурация трубопроводов задана схемой. Построением всех характеристик выяснить все особенности работы насоса, возможное колебание производительности, максимальную мощность найвыгоднейшую степень открытия задвижки и т.д.

Расчет насоса:

Практика постройки насосов выработала ряд соотношений, которые обычно принимаются при расчете:



фиг.8.

а/. отношение радиусов рабочего колеса /см.
фиг. 8 и 9/. од

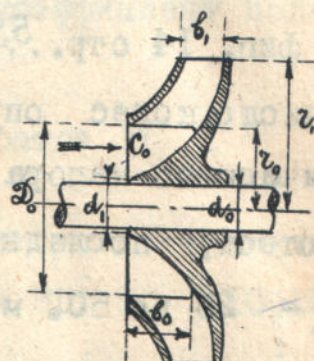
$\frac{r_0}{r_1} = m$, где; m принимается от 0,3 до 0,5; -49° /

б/. отношение ширины

канала при входе к таковой при

выходе:

$\frac{b_0}{b_1} = q_f$, где: $q_f =$
= от 1,0 до 2,7 /50/



с/. степень открытия
регулирующей задвижки

фиг. 9

$\chi =$ от 0,3 до 0,7 /51/

д/. отношение $\frac{b_0}{r_1} = i$, где: $i =$ от 0,1 -
до 0,2 /52/

е/. коэффициенты сужения сечений при входе и
выходе из колеса вследствие наличия лопаток

$K_a = 0,84$ до 0,93 /53/

$K_b = 0,85$ до 0,95

ж/. Величина угла наклона лопатки рабочего
колеса при выходе воды

для малых напоров $\angle \beta =$ от 15° до 45°

для средних напоров $\angle \beta =$ от 12° до 90°

Для высоких напоров > 50 мтр. насос строится ступеньчатого типа с несколькими рабочими колесами см. фиг. 14 стр. 55. /, работающими последовательно, число колес определяется делением общего манометрического напора на напор, допускаемый для одного колеса; последний обычно колеблется в пределах $H_K = 25$ до 50 . мтр. В исключительно высоконапорных установках его доводят до 100 мтр.

Число ступеней, таким образом, будет

$$z = \frac{H_m}{H_K} \quad \text{--- --- --- --- ---} /54/$$

где : H_K - манометрический напор, даваемый одним колесом. Число ступеней не должно превосходить 3 или 9, так как длина вала будет очень велика.

9/. Число оборотов насоса, если он при водной, может быть выбрано в пределах от 500 до 3.000 оборотов в минуту ; при непосредственном соединении с паровой турбиной до 9.000 обор./в минуту ; а при непосредственном соединении с электромоторами обороты назначаются в соответствии с мощностью его по данным каталогов .

Мощность определяется формулой :

$$N = \frac{1000 \cdot Q_s \cdot H_m}{75 \eta_m} \quad /55/$$

где : H_m - манометрическая высота подачи для установки, а $\eta_m = 0,85$ до $0,95$ - механич. коэффициент полез - ного действия ..

Таблица для числа оборотов n .

Мощн. электро мотора в НР.	0,5	5	10	30	50	80	90	110	120	2
n -для 3-х. фаз зного то ка.	950	960	975	975	980	980	980	980	980	7
	1450	1450	1450	1470	1470	1470	1470	1475	-	

n -для постоян. тока.	2900	1700	1325	825	600	460	350	-	-	
-------------------------------	------	------	------	-----	-----	-----	-----	---	---	--

Приступая к расчету, необходимо приближенно определить окружную скорость по формуле/27/, остановившись на определенной величине H_k и принимая теоретический напор одного колеса $H_i = 1,15$ до $1,25 H_k$, что бы учесть сопротивления в рабочем колесе насоса и увеличить диапазон его работы.

Тогда из равенства:

$$H_i = 1,2 H_k = \frac{U_i^2}{g} (1 - x \cos \beta) \quad /56/$$

определяем U_i , избрав величины x и $\angle \beta$, согласно выше приведенных пределов.

$$U_i = \sqrt{\frac{1,2 \cdot H_k \cdot g}{1 - x \cos \beta}} \quad /57/$$

По нормальной заданной производительности Q_n определяется диаметр труб линии всасывания и нагнетания в зависимости от принятой скорости течения воды по трубам, которая обычно принимается

U = от 1 до 2 мтр./сек. при длинных и сложных трубопроводах и

U = от 2,5 до 3,5 для простых и коротких, и тогда диаметр труб:

$$d = \sqrt{\frac{4 \cdot Q_n}{\pi \cdot U}} \quad /58/$$

с поправкой на нормальный сортамент труб.

Подсчитав согласно эскиза трубопровода потери на гидравлическое сопротивление в трубах и фасонных частях

$$H_{wd} = \sum_1^n i \cdot \frac{U^2}{2g} \quad \text{и} \quad H_{ws} = \sum_1^n i \cdot \frac{U^2}{2g} \quad /59/$$

где: $i = 1,2, \dots, n$

где коэффициенты сопротивления i можно взять по

любому справочнику, получаем манометрический напор установки или трубопровода.

$$H_m' = H_g + H_{wd} + H_{ws} \quad \text{и}$$

по формуле /54/, задавшись числом ступеней Z , находим величину H_k , а затем U_1 , по формуле /57/.

Имея эти данные, определяем мощность электромотора:

$$N = \frac{1000 Q_s H_m'}{75 \eta} \quad \text{и по таблице определяем число оборотов } N$$

число оборотов N

Теперь можно определить величину $\angle \beta_1$ по формуле:

$$\sin \beta_1 = \frac{\pi Q_n n^2}{1800 i K_1 \lambda U_1^5} \quad /60/$$

Подберем, вариированием и комбинацией величин N , λ , U_1 и $\angle \beta_1$, необходимо достичь, чтобы величина $\angle \beta_1$, определенная по формуле /60/ близкотсвпадала бы с принятым нами значением $\angle \beta_1$ в формуле /57/. Если совпадение достигнуто, то переходим к определению размеров турбинного колеса / см. фиг. 9/

$$U_1 = \frac{30 U_1}{\pi n}; D_1 = 2 U_1 \quad \begin{array}{l} \text{Наружный диаметр} \\ /61/ \end{array}$$

$$U_0 = M U_1; D_0 = 2 U_0 \quad \begin{array}{l} \text{внутренний диаметр} \\ \text{турбинного колеса.} \end{array}$$

Диаметр вала насоса по формуле /39/

$$d_0 = 14,4 \sqrt[3]{\frac{N}{n}} \quad \text{в метрах.}$$

Диаметр втулки рабочего колеса при входе воды в канал:

$$d_1 = \text{от } 1,1d_0 \text{ до } 1,3d_0$$

стенка втулки утолщается под лопatkой, а в начале для облегчения входа воды делается тоньше нормальной.

Далее определяем величину абсолютной скорости C_o поступления воды в каналы рабочего колеса при одностороннем входе, исходя из пропускной способности сечения входа /см. фиг. 9/

$$\left(\frac{\pi D_o^2}{4} - \frac{\pi d_1^2}{4} \right) \cdot C_o = Q_n \quad /62/$$

откуда $C_o = \frac{4Q_n}{\pi(D_o^2 - d_1^2)} \quad /63/$

При насосе с двусторонним входом воды, очевидно нужно вести расчет по формуле /62/, положив в ней правую часть, $\frac{Q_n}{2}$,

необходимо добиваться, чтобы скорость C_o не сильно отличалась по величине от скорости течения V по трубам.

Скружная скорость при входе воды в канал найдется из пропорции:

$$\frac{U_1}{U_o} = \frac{V_1}{V_o}; U_o = U_1 \frac{V_o}{V_1} = U_1 m \quad /64/$$

Относительная скорость при выходе W_1 , определяется из условия :

$$X = \frac{W_1}{U_1}; \quad W_1 = X U_1 \quad --- /65/$$

Условие радиальности абсолютной скорости входа воды в канал рабочего колеса требует :

$$\operatorname{tg} \beta_0 = \frac{C_0}{U_0}, \quad \text{что дает возможность по величине } \operatorname{tg} \beta_0 \text{ найти } \angle \beta_0.$$

Имея величину $\angle \beta_0$, находим относительную скорость входа :

$$W_0 = \frac{U_0}{\cos \beta_0} \quad --- /66/$$

Желательно, чтобы при этом возможно близко осуществлялось условие :

$$W_0 = W_1 \quad --- /67/$$

что, как мы видели выше, увеличивает напор.

Абсолютная скорость выхода воды C_1 , определяется из Δ скоростей :

$$C_1^2 = U_1^2 + W_1^2 - 2 U_1 W_1 \cos \beta_1 \quad --- /68/$$

Необходимо графическим построением Δ скоростей при выходе / см. фиг. 5 / убедиться, что угол, составляемый направлением абсолютной скорости C_1 с касательной к окружности не превышает 10° до 15° ; такое направление скорости C_1 , создает условие безударного входа воды в спираль кожуха насоса.

По формулам /52/ и /50/ находятся величины ширины рабочего колеса при выходе b_1 , и при входе b_0 . Установив таким путем все основные величины для насоса и все скорости, строим диаграмму характеристик работы насоса согласно указаний и формул /28/ до /45/ и убеждаемся, соответствует ли спроектированный насос предъявленным ему заданиям условиям. -

Прилагаемый примерный числовой расчет ступенчатого насоса поможет читателю уяснить себе более детально метод расчета и способы построения.

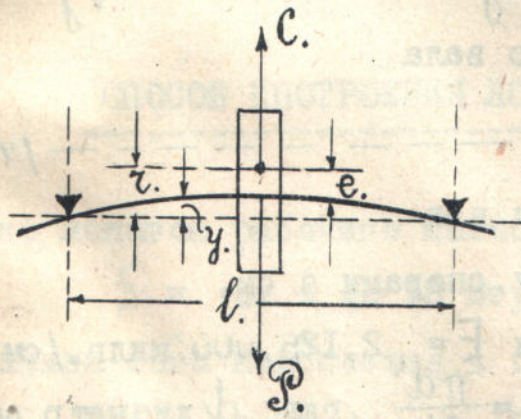
Проверка размеров вала насоса на критическое число оборотов .

Несовпадение после отливки физического центра тяжести турбины с ее геометрическим центром и отсутствие точной балансировки турбины служило нередко причиной поломки вала или рабочего колеса, а поэтому теперь размеры вала и число оборотов насоса назначаются в зависимости от критического числа оборотов, которое определяется следующим путем: /см. фиг. 10/ пусть эксцентризитет физического и геометрического центров будет $\ell^{\circ}/\text{м.}$; стрела прогиба, вызванная этой

экспцентричностью - $y\%$; сила сопротивления вала насоса этому изгибу P кг.; центробежная сила веса колеса при вращении C кг. Изгиб вала возможен, очевидно, лишь при условии:

$$C = P \quad /69/$$

$$\text{но } C = \frac{m \cdot u^2}{r} = \frac{m \cdot w^2 \cdot r^2}{r} = m \cdot w^2 \cdot r = \\ = \frac{g}{g} \cdot w^2 (e + y) \quad /70/$$



Фиг. 10.

Здесь: M масса колеса;

$$M = \frac{g}{g}, \text{ где: } g \text{ вес колеса; а } g = 981 \frac{\text{см}}{\text{сек}^2}$$

так как все размеры в сантиметрах; w радиус вращения, который по чертежу будет:

$$w = e + y$$

Но сила $P = f \cdot y$, где: f сила сопротивления изгибу вала при стреле прогиба в один сантиметр. Равенство /69/ теперь примет вид:

$$\frac{g}{g} \cdot w^2 (e + y) = f \cdot y; \text{ или } f \cdot y - \frac{g}{g} w^2 y = \frac{g}{g} w^2 e$$

откуда

$$y = \frac{g \cdot w^2 \cdot e}{f - \frac{g}{g} \cdot w^2} \quad /71/$$

Если здесь положим, что $f - \frac{g}{g} w^2 = 0$ /72/
 то стрела прогиба $y = +\infty$ плюс бесконечности / и
 очевидно вал сломается. Последнее условие дает воз-
 можность определить то критическое число оборотов ,
 которое опасно для вала данных размеров .

Из условия /72/ имеем :

$$f = \frac{g}{g} w^2; w = \sqrt{\frac{fg}{g}}; \text{ но } w = \frac{\pi \cdot n_{kp.}}{30}$$

следоват . $\frac{\pi \cdot n_{kp.}}{30} = \sqrt{\frac{fg}{g}}$; $n_{kp.} = \sim 300 \sqrt{\frac{f}{g}}$ /73/

Стрела прогиба для круглого вала

$$y = \frac{P \cdot l^3}{48 \cdot E \cdot J} \quad \text{-----} /74/$$

Где: P - сила, изгибающая вал

l - длина вала между опорами в см.

E - модуль для стали $E = 2.125.000$ килг./см.²

J - момент инерции $J = \frac{\pi d^4}{64}$, где: d диаметр вала

Если в /74/ положим $y = 1$ см., то сила $P = f$ и
 тогда можно написать :

$$I = \frac{f \cdot l^3}{48 \cdot E \cdot J} \quad ; \text{ откуда } f = \frac{48 \cdot E \cdot J}{l^3} \quad /75/$$

Все турбины $\frac{f}{g} = V y$, где: V - геометрический об"ем
 вещества колеса, а y - удельный вес . Вычислив
 по формуле /75/ величину f и по проекту насоса опре-

делив $\frac{g}{g}$, подставляем эти данные в формулу /73/ и находим критическое число оборотов, а затем проверяем, удовлетворяет ли действительное число оборотов насоса следующему условию:

$$n_{\text{действ.}} \leq 0,5 n_{\text{крит.}} \quad /76/$$

т.е. действительное число оборотов насоса не должно превышать 50 % критического числа оборотов .

СПОСОВ ПОСТРОЕНИЯ ЛОПАТОК РАБОЧЕГО КОЛЕСА .

Число лопаток рабочего колеса принимают

$$S = \text{от } 4 \text{ до } 18 \text{ штук.} \quad /77/$$

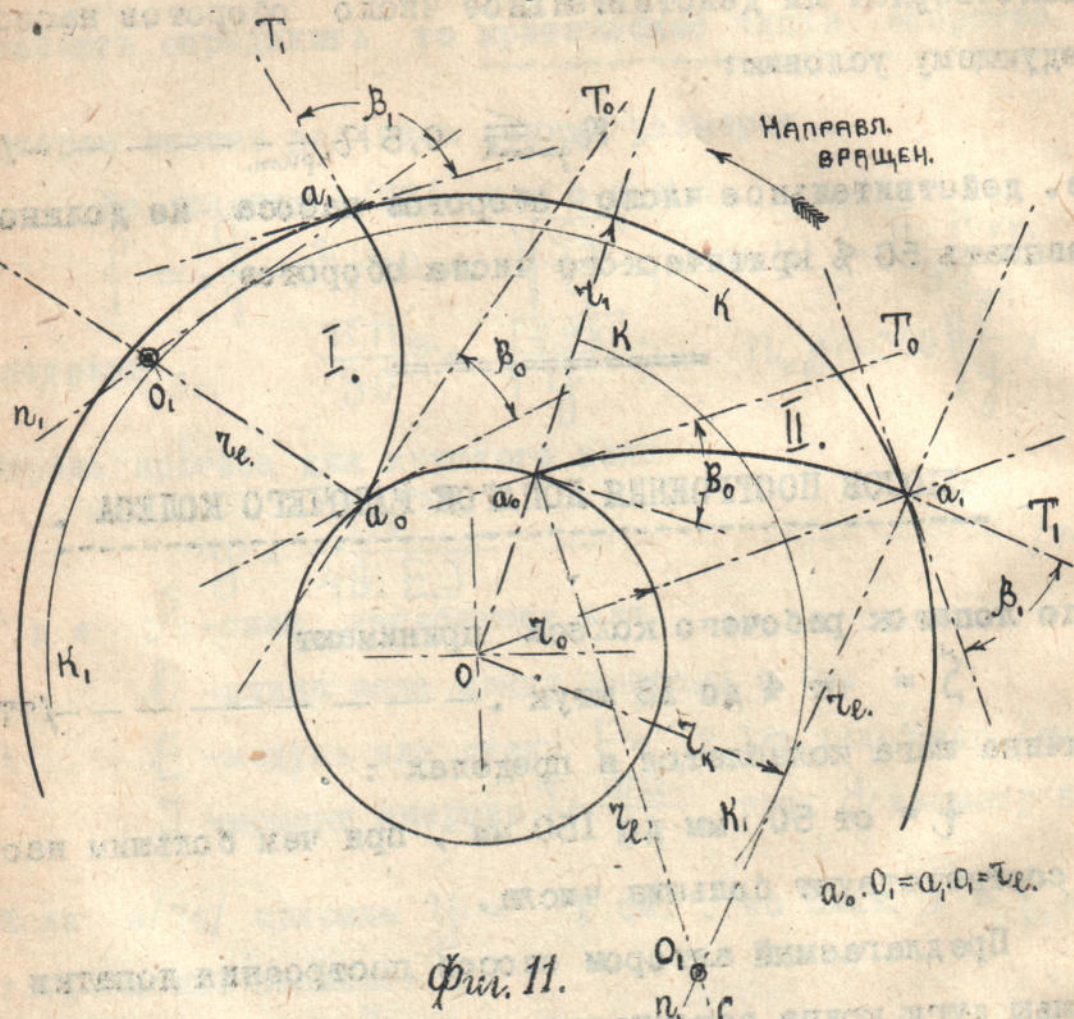
Величина шага колеблется в пределах :

$t = \text{от } 50 \text{ мм до } 150 \text{ мм,}$ при чем большим насосам соответствуют большие числа.

Предлагаемый автором способ построения лопатки помошью дуги круга заключается в следующем:

очертив радиусами r_0 и окружности входа и выхода колеса, строим при произвольной точке a_0 угол β_0 наклона лопатки / см. фиг. II / и, проводим линию $a_0 C_0 \perp k a_0 T_0$; при произвольной точке a_1 ,

строим угол β_1 , и проводим \perp к $a_1 T_1$, что дает на-
вторую секущую круга $\overline{a_1 n_1}$.



Фиг. 11.

роведя касательно к этой секущей вспомогательную ок-
ружность KK , из центра колеса O радиусом r_k утвер-
ждаем, что центр дуги кривизны лопатки с одной стороны

лежит на линии A_0C_0 , а с другой должен лежать на касательной к вспомогательной окружности KK_1 , что обеспечивает угол наклона β_1 .

Величина этой последней касательной O_1a_1 должна равняться длине O_0a_0 , как радиусу одной и той же кривой, γ_ℓ , а отсюда метод нахождения центра: задавшись некоторой длиной a_0O_1 , путем попыток находят ей равную линию, касательную к окружности KK_1 . На фиг. II исполнено построение лопатки, загнутой вперед по вращению I и загнутой назад II. Это построение гарантирует правильность углов наклона лопаток к соответствующим окружностям колеса.

ПОСТРОЕНИЕ СПИРАЛИ КОЖУХА.

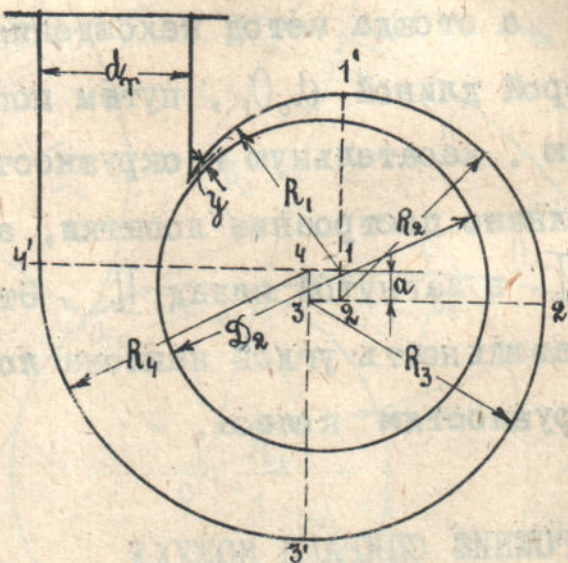
Форма корпуса насоса, принимающего в себя из рабочих каналов колеса воду, должна быть такова, что бы вмещать все увеличивающееся количество струй воды, и поэтому она строится по закону архimedовой спирали. Так как постепенно увеличивающееся сечение корпуса должно в конце концов получить сечение, равное сечению нагнетательных труб, то спираль строится по конструктивному квадрату, размер которого будет:

$$a = \frac{d_T}{4}$$

- 178 /

где a сторона квадрата ,

d_T диаметр нагнетательных труб . / см . фиг . 12 /



фиг . 12

остроим около центра рабочего колеса конструктивный квадрат со стороной равной a ; углы этого квадрата являются центрами последовательно проводимых дуг - 2, 3, 4 , проводимых радиусом 2-1' от точки 1' до 2' , а затем радиусом 3-2' до точки 3' , затем радиусом 4-3' до точки 4' , где диаметр сечения сделается равным $- d_T$

диаметру трубы.

Подшипники насоса делаются обычно с кольцевой смазкой по нормам деталей машин, но необходимо заботиться снабжением насоса каким либо устройством для уничтожения аксиального давления воды на турбинки насоса. Детально эти конструкции можно найти у "Quantz"а в его книге о центробежных насосах.

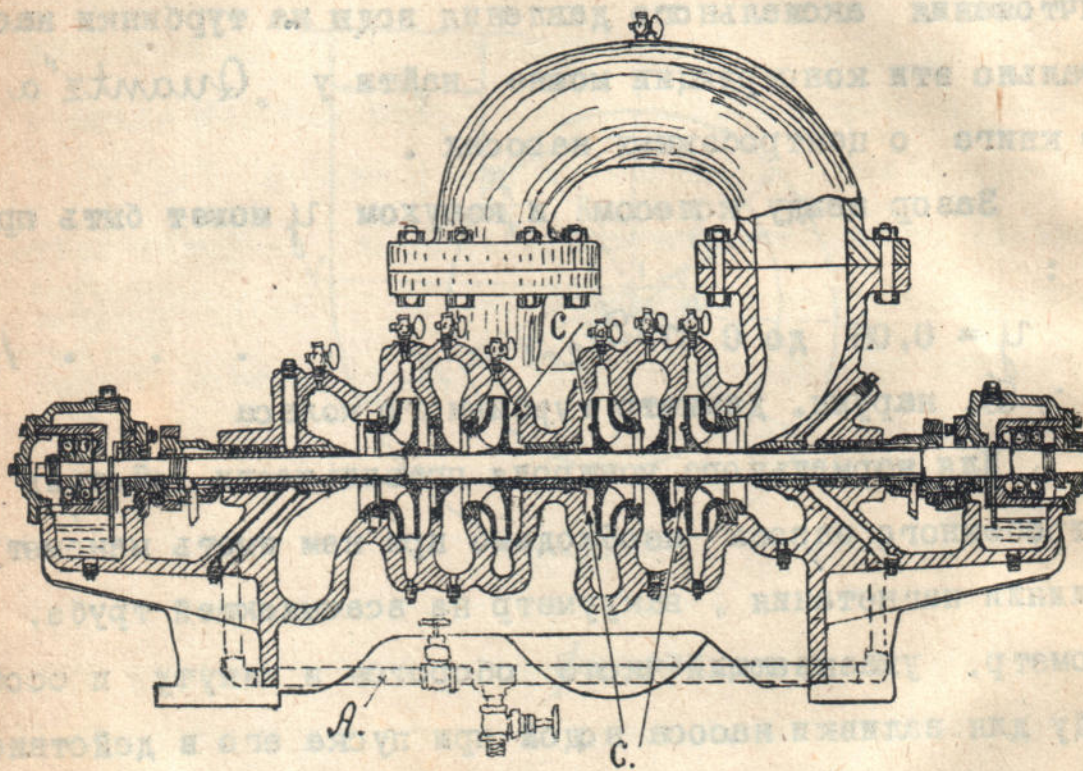
Зазор между колесом и кожухом γ может быть принят:

$$\gamma = 0,05 \text{ до } 0,07 D_2 \dots \dots \dots /7$$

где: D_2 наружн. диаметр турбинного колеса

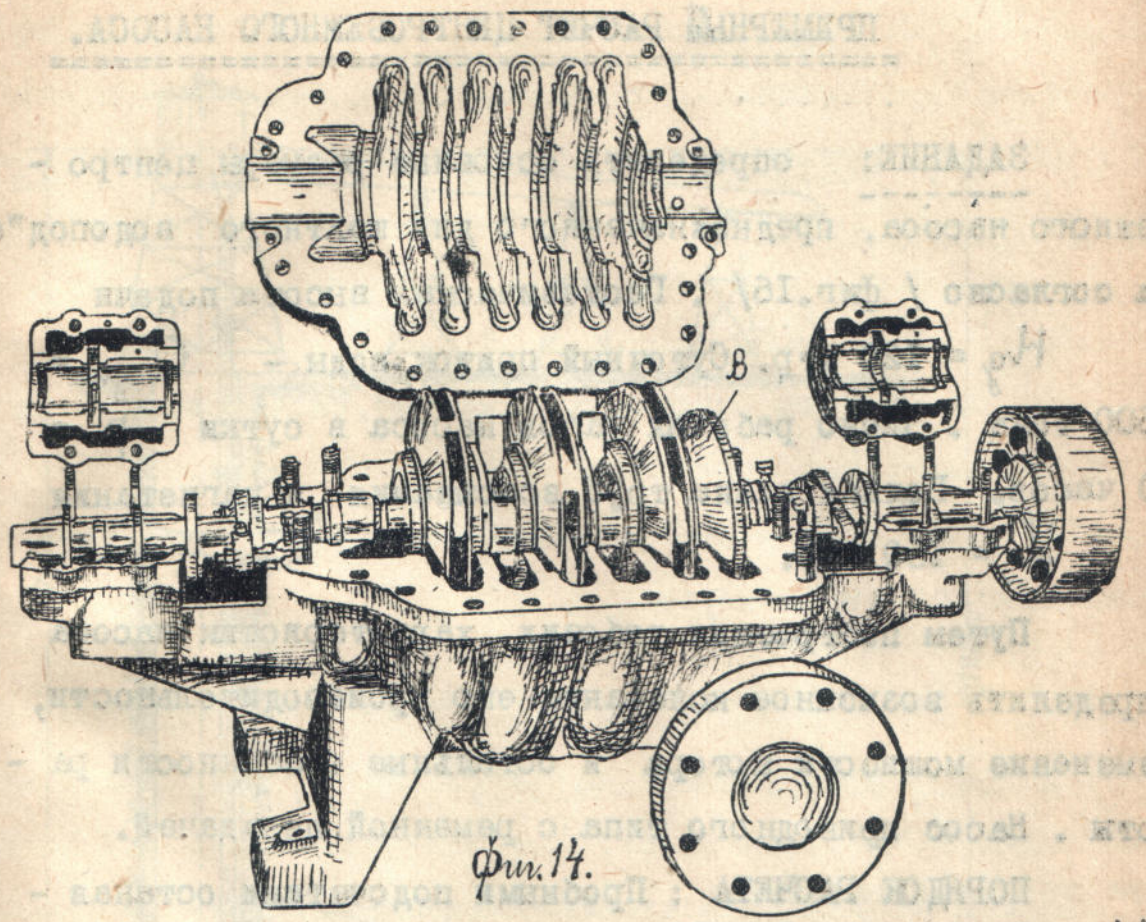
Для нормального контроля правильности действия центробежного насоса необходимо при нем иметь манометр на линии нагнетания, вакууметр на всасывающей трубе, тахометр, указывающий число оборотов в минуту и особую трубу для заливки насоса водой при пуске его в действие. Чертежи / фиг. I3 и I4/ содержат новейшие конструкции ступенчатых насосов, при чем первая из них представляет усовершенствованный ступенчатый насос фирмы Гульда, в котором ступени в равном числе имеют обратное друг другу направление, чем достигается в этих насосах значительное уменьшение осевого давления, которое является следствием

авления воды на задние стенки ступеней в пространст-
вах, обозначенных буквой С на чертеже. Труба А
создает гидравлические затворы в сальниках вала насоса
путем подвода воды с большим давлением по каналам.



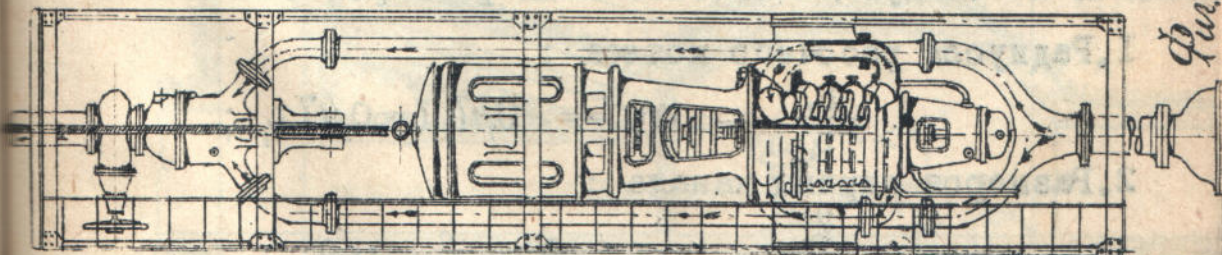
Фиг. 13.

Насос снабжен подшипниками на шариках. Чертеж на
фиг. 14 /представляет обычную конструкцию 3-х ступен-
ного насоса с регулирующей шайбой В, назначение ко-
торой уравновешивать осевое давление воды при помощи
гидравлического давления между шайбой и корпусом



Фиг. 14.

Фиг. 15.



насоса. Чертеж на фиг. 15 дает раннюю подвесную конструкцию насоса для прохождения шахт, изготовленного Сумским Машинно-строительным Заводом.

ПРИМЕРНЫЙ РАСЧЕТ ЦЕНТРОБЕЖНОГО НАСОСА.

ЗАДАНИЕ: определить основные размеры центробежного насоса, предназначенного для шахтного водоподъема согласно / фиг. I6/. Геодезическая высота подачи

$H_g = 120$ мтр. Суточный приток воды - $Q_{сум.} =$
600 тонн. Число рабочих часов насоса в сутки $P =$
0 часов. Полная длина труб всасывания и нагнетания
 $L = 150$ мтр.

Путем построения рабочих характеристик насоса, пределить возможное колебание его производительности, изменение мощности мотора и остальные особенности работы. Насос приводного типа с ременной передачей.

ПОРЯДОК РАСЧЕТА : Пробными подсчетами останавливаемся на следующих соотношениях размеров :

1. Радиусов рабочего колеса :

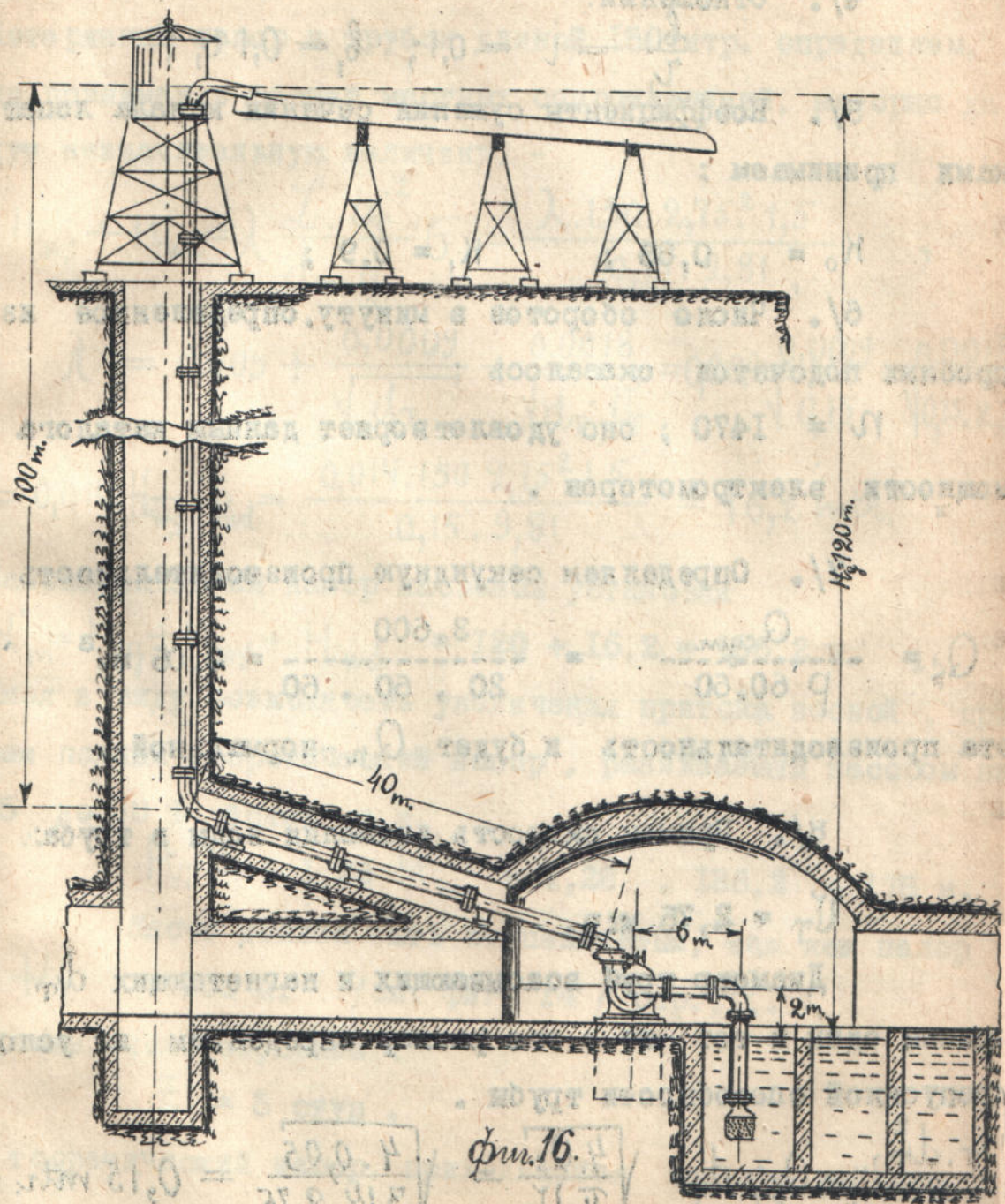
$$\frac{r_o}{r_i} = m = 0,47; r_o = 0,47 r_i;$$

2. Размеров ширины канала :

$$\frac{b_o}{b_i} = q = 2; b_o = 2 b_i;$$

3. Степени открытия задвижки :

$$\chi = 0,4;$$



фиг. 16.

4/. Отношении:

$$\frac{b_1}{l_1} = i = 0,1; \quad b_1 = 0,1 l_1;$$

5/. Коэффициенты сужения сечения канала лопатками принимаем :

$$K_0 = 0,85; \quad K_1 = 0,9;$$

6/. Число оборотов в минуту, определенное из пробных подсчетов оказалось :

$n = 1470$; оно удовлетворяет данным каталога мощности электромоторов.

7/. Определяем секундную производительность

$$Q_s = \frac{Q_{\text{чум.}}}{\rho 60 \cdot 60} = \frac{3.600}{20 \cdot 60 \cdot 60} = 0,05 \text{ м.}^3$$

Эта производительность и будет Q_n - нормальной.

8/. Примем скорость движения воды в трубах

$$U_T = 2,75 \text{ мтр.}$$

Диаметр труб всасывающих и нагнетающих d_T

примем один и тот же; его размер определяем из условия пропускной способности трубы.

$$\frac{\pi \cdot d_T^2}{4} U_T = Q_s; \quad d_T = \sqrt{\frac{4 \cdot Q_s}{\pi \cdot U_T}} = \sqrt{\frac{4 \cdot 0,05}{3,14 \cdot 2,75}} = 0,15 \text{ мтр.}$$

Принимаем $d_T = 150$ м/м. и $V_T = 2,75$ м/сек.
Потерянный напор в трубах длиной 150 мтр. определяем,
не принимая в расчет местных сопротивлений, которые да-
дут незначительную величину. -

$$H_{ws} + H_{wd} = \lambda \cdot \frac{L \cdot V_T^2}{d_T \cdot g} \cdot 6 = \frac{\lambda \cdot 150 \cdot 2,75^2 \cdot 1,5}{0,15 \cdot 9,81},$$

$$\text{а } \lambda = 0,009 + \frac{0,0009}{\sqrt{d_T}} + \frac{0,0018}{\sqrt{d_T \cdot V_T}} = 0,009 + \frac{0,0009}{\sqrt{0,15}} + \frac{0,0018}{\sqrt{0,15 \cdot 2,75}} \\ = 0,014; H_{ws} + H_{wd} = \frac{0,014 \cdot 150 \cdot 2,75^2 \cdot 1,5}{0,15 \cdot 9,81} = 16,2 \text{ мтр.}$$

Манометрический напор насосной установки

$$H_m = H_g + H_{ws} + H_{wd} = 120 + 16,2 = 136,2 \text{ м.}$$

Имел в виду возможность увеличения притока весной , при
мем полный теоретический напор , развивающийся насосом на
25 до 30 % более , т.е.

$$H_i = 1,28 H_m = 1,28 \cdot 136,2 = 175 \text{ м.}$$

Насос должен быть ступенчатым, так как напор

$$H_i > 100 \text{ м. / см. фиг. I4 / стр. } 55 /$$

Примем число ступеней :

$$z = 5 \text{ ступ.}$$

и теоретический напор, приходящийся на одно рабочее

слесо

$$H_{ik} = \frac{H_i}{\chi} = \frac{175}{5} = 35 \text{ мтр.}$$

Путем целого ряда пробных попыток выясняем, что величина $\angle \beta_1$ должна быть принята равной 25° .

Величина окружной скорости U_1 при $\angle \beta_1 = 25^\circ$

получится из условия :

$$H_{ik} = \frac{U_1^2}{g} (1 - \chi \cos \beta_1)$$

$$\text{дз: } \cos \beta_1 = \cos 25^\circ = 0,906; \quad \chi = 0,4; \quad H_{ik} = 35$$

$$U_1 = \sqrt{\frac{g \cdot H_{ik}}{1 - \chi \cos \beta_1}} = \sqrt{\frac{9,81 \cdot 35}{1 - 0,4 \cdot 0,906}} = 23,2 \text{ м/сек.}$$

роверяем принятое значение $\angle \beta_1 = 25^\circ$ по условию пропускной способности

$$\sin \beta_1 = \frac{Q \cdot \pi \cdot n^2}{1800 \cdot i \cdot K_1 \cdot \chi \cdot U_1^3} = \frac{0,05 \cdot 3,14 \cdot 1470^2}{1800 \cdot 0,1 \cdot 0,9 \cdot 0,4 \cdot 23,2^3} = 0,42;$$

тому значению синуса отвечает угол $\beta_1 = 25^\circ$

Относительная скорость воды в канале при выходе:

$$W_1 = \chi \cdot U_1 = 0,4 \cdot 23,2 = 9,28 \text{ м/сек.}$$

Все элементы треугольника скоростей при выходе воды из колеса определены и следует графически убедиться, что наклон абсолютной скорости к касательной наружной окружности не выходит из пределов $10^\circ - 15^\circ$.

Построение дает угол наклона 15° и поэтому полученные данные можно считать приемлемыми.

Переходим к определению размеров рабочего колеса: наружный радиус колеса.

$$r_1 = \frac{30 \cdot U_1}{\pi \cdot n} = \frac{30 \cdot 23,2}{3,14 \cdot 1470} = 0,15 \text{ м.}$$

диаметр наружный колеса $D_1 = 0,3 \text{ мтр.}$

Внутренний диаметр рабочего колеса

$$D_0 = m \cdot D_1 = 0,47 \cdot 0,3 = 0,141 \text{ м.}$$

Для определения размера вала турбинного колеса подсчитаем мощность насоса приближенно:

$$N = \frac{1000 \cdot Q_n \cdot H_i}{75 \cdot \eta_m} = \frac{1000 \cdot 0,05 \cdot 175}{75 \cdot 0,95} = 122 \text{ кВт}$$

Диаметр турбинного вала

$$d_0 = 14,4 \sqrt[3]{\frac{N}{n}} = 14,4 \sqrt[3]{\frac{122}{1470}} = 6,28 \text{ см.}$$

или 62,8 м/м.

Диаметр втулки рабочего колеса при входе воды

$$d_1 = 1,25 d_o = 1,25 \cdot 0,0628 = 0,0785 \text{ мт.}$$

$$\text{примем } d_1 = 0,075 \text{ м.}$$

По формуле /52/ определяем скорость входа воды; последний при ступенчатом насосе будет односторонний

$$\frac{4 Q_n}{\pi (D_o^2 - d_1^2)} = \frac{4 \cdot 0,05}{3,14 / 0,141^2 - 0,075^2} = 4,46 \text{ м/сек.}$$

Из соотношения

$$\frac{U_o}{U_1} = \frac{U_o}{U_1} = m \text{ определяем:}$$

$$U_o = U_1 m = 23,2 \cdot 0,47 = 10,9 \text{ м/сек.}$$

Для сохранения радиальности входа должно быть соблю-

дено условие

$$\operatorname{tg} \beta_0 = \frac{C_o}{U_o} = \frac{4,46}{10,9} = 0,408$$

По таблицам

$$\angle \beta_0 = 22^\circ 10'$$

$$\cos \beta_0 = \cos 22^\circ 10' = 0,926.$$

Из условия радиальности входа определяем относительную скорость движения воды.

$$W_o = \frac{U_o}{\cos \beta_0} = \frac{10,9}{0,926} = 11,8 \text{ мт/сек.}$$

Из Δ скоростей при выходе определяется абсолютную скорость выхода воды C_1

$$C_1^2 = W_1^2 + U_1^2 - 2W_1U_1 \cos \beta_1 =$$

$$= 9,28^2 + 23,2^2 - 2 \cdot 9,28 \cdot 23,2 \cdot 0,906 = 86,111 +$$

$$+ 538,24 - 390 = 234,35 \text{ м./сек.}$$

$$C_1 = \sqrt{234,35} = 15,3 \text{ мтр./сек.}$$

Для проверки наших вычислений подсчитаем теоретический напор рабочего колеса по найденным скоростям.

$$H_{ik} = \frac{C_1^2 - C_0^2}{2g} + \frac{U_1^2 - U_0^2}{2g} - \frac{W_1^2 - W_0^2}{2g} =$$

$$= \frac{234,35 - 19,89}{19,62} + \frac{538,24 - 118,8}{19,62} -$$

$$\frac{86,11 - 139,24}{19,62} = 35 \text{ м.}$$

Итак одно рабочее колесо при $X = 0,4$ развивает теоретический напор

$$H_{ik} = 35 \text{ м.}$$

Совпадение результата убеждает нас в правильности величин скоростей определенных расчетом.

Ширина рабочего колеса при выходе воды

$$b_1 = 0,1 \cdot \gamma_1 = 0,1 \cdot 0,15 = 0,015 \text{ м.}$$

Ширина при входе

$$b_0 = 2 b_1 = 2 \cdot 0,015 = 0,03 \text{ м.}$$

Очертание наружного кожуха насоса производится по способу архимедовой спирали, которая чертится при помощи конструкторского квадрата. Сторона квадрата a принимается обычно равной $1/4 d_T$ где; d_T диаметр нагнетательных труб

$$a = \frac{1}{4} d_T = \frac{0,15}{4} = 0,0375 \text{ м.}$$

Способ построения следующий : около центра рабочего колеса строим квадрат, сторона которого равна a .

Углы этого квадрата являются центрами окружностей радиусов R_1, R_2, R_3, R_4 , которыми очерчиваются части эвольвты кожуха, как это сделано на чертеже

/фиг. 12 стр. 52/

Подшипники, сальники, краны и другие детали проектируются на основании общих правил расчета деталей машин .

ПОСТРОЕНИЕ ХАРАКТЕРИСТИК ПРОЕКТИРУЕМОГО
НАСОСА.

/см. фиг. 17/ Диаграммы характеристик .

I/. Характеристика теоретической высоты .

Подсчитываем величину H_{ik} для $X = 0$

$$H_{ik} = \frac{U_1^2}{g} = \frac{23,2^2}{9,81} = \frac{538,24}{9,81} = 54,8 \text{ мтр.}$$

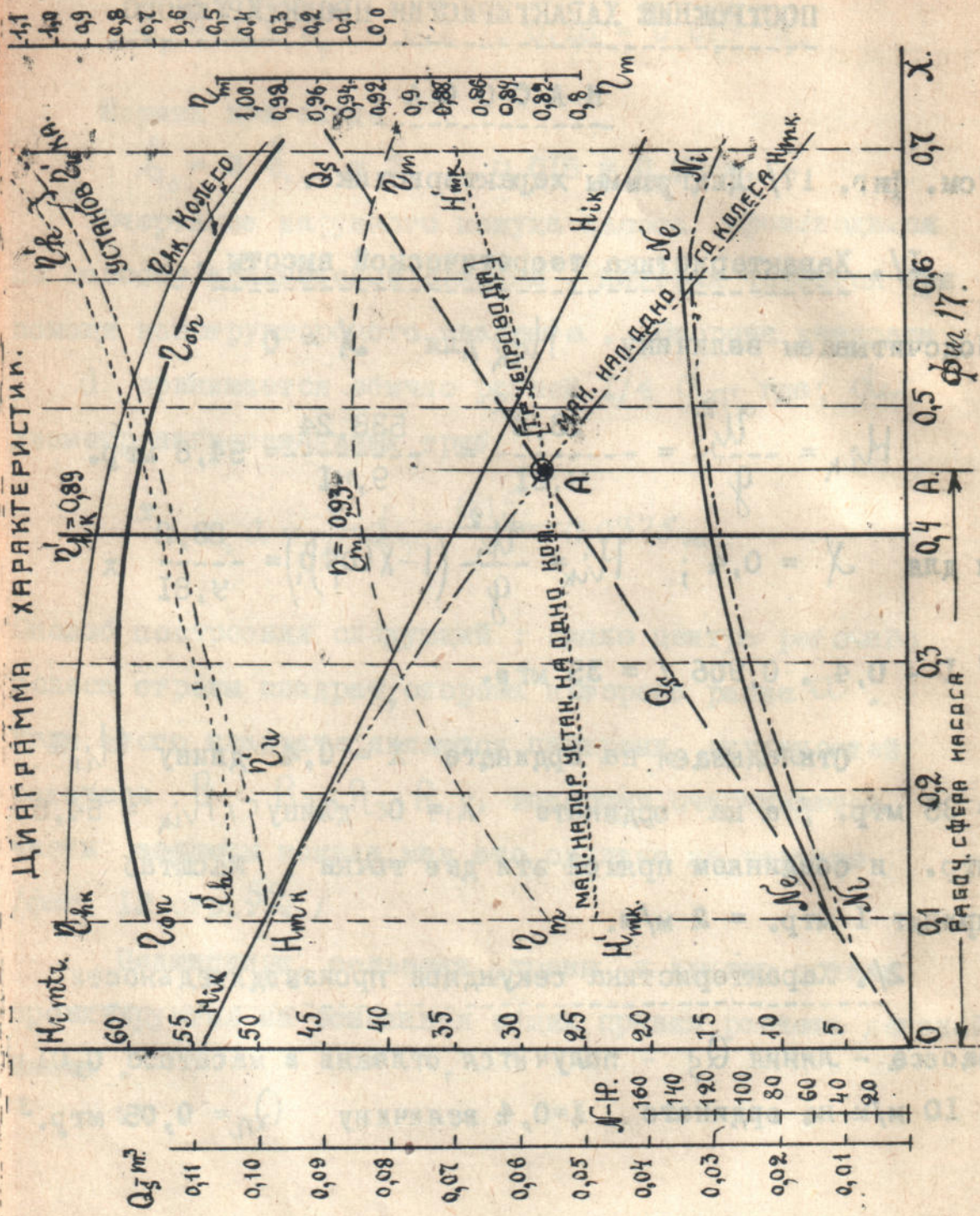
и для $X = 0,4$; $H_{ik} = \frac{U_1^2}{g} (1 - X \cos \beta_1) = \frac{23,2^2}{9,81} x$

$x / I = 0,4 \cdot 0,906 / = 35 \text{ мтр.}$

Откладываем на ординате $X = 0,4$ длину $H_{ik} = 35 \text{ мтр.}$, а на ординате $X = 0$ длину $H_{ik} = 54,8 \text{ мтр.}$ и соединяем прямой эти две точки . Масштаб принят $I \text{ мтр.} = 2 \text{ м}/\mu$.

2/. Характеристика секундной производительности

насоса - линия Q_S - получится, отложив в масштабе $0,01$ и $= 10 \text{ м}/\mu$ на ординате $X=0,4$ величину $Q_n = 0,05 \text{ мтр.}^3$



Соединив начало координат с полученной точкой и продолжив эту линию дальше.

3/. Для построения характеристики манометрической высоты подачи воды H_m при разной производительности необходимо подсчитать скорости V_T в трубопроводе при соответствующих секундных расходах воды для значений $X = 0,1, 0,2, 0,3 \dots$ и т.д.

По найденным скоростям определяем по обычным формулам гидравлики потерянные напоры и затем манометрический напор. Ниже все результаты подсчетов сведены в таблицу.

№ I, а для наглядности приведем подсчет для ординаты $X = 0,1$.

Из диаграммы секундного расхода для $X = 0,1$ определяем по масштабу $Q_s = 0,0125 \text{ кб.м.}$ далее находим скорость в трубопроводе.

$$V_T = \frac{Q_s}{\frac{\pi d_T^2}{4}} = \frac{0,0125}{\frac{3,14 \cdot 0,15^2}{4}} = 0,712 \text{ м/сек.}$$

Потерянный напор в линиях всасывания и нагнетания по обычной формуле:

$$H_{ws} + H_{wd} = \frac{\lambda \cdot L \cdot \bar{v}_T^2}{d_T \cdot g} = \frac{0,014 \cdot 150 \cdot 1,5}{0,15 \cdot 9,81} \bar{v}_T^2 =$$

Здесь: \bar{v} коэффициент запаса на заливание труб в
удушем:

$$= 2,14 \bar{v}_T^2 = 2,14 \cdot 0,712^2 = 1,07 \text{ м.}$$

Манометрический напор трубопровода

$$H_m' = H_g + H_{ws} + H_{wd} = 120 + 1,07 = 121,07 \text{ м.}$$

Манометрический напор трубопровода для одного
рабочего колеса

$$H_{mk}' = \frac{H_m'}{z} = \frac{121,07}{5} = 24,2 \text{ м.}$$

Эта величина наносится на ординату 0,1 X в масштабе
для H_{mk}'

Таблица № I.

X	0,1	0,2	0,3	<u>0,4</u>	0,5	0,6	0,7	0,8
λ_s	0,0125	0,025	0,037	0,05	0,062	0,075	0,087	0,1
\bar{v}_T	0,712	1,42	2,100	2,75	3,5	4,25	4,94	5,67
H_m'	121,07	124,2	129,4	136,2	146,5	158,8	172,2	188,
H_{mk}'	24,2	24,8	25,9	<u>27,4</u>	28,3	31,8	34,4	37,7

4/. Кривая гидравлического коэффициента полезного действия для всей установки строится по значениям .

$$\eta'_h = \frac{H'_g}{H'_{ik}} \text{ для отдельных значений } X^a ,$$

здесь $H'_g = \frac{H_g}{Z} = \frac{120}{5} = 24$ м. геодезический напор на одну ступень , а значения H'_{ik} имеем из характеристики для соответственных значений X .

Результаты подсчетов даны в табл. № 2 .

Таблица № 2 .

X	0,1	0,2	0,3	0,4	0,5	0,6	0,7
H'_{ik}	50	45	40	35	30	26	19,3
η'_h	0,48	0,49	0,6	0,687	0,8	0,925	1,24

Гидравлический коэффициент полезного действия для всей установки расчет с увеличением X и падением H'_{ik} ; значения $\eta'_h > 1$ указывают на невозможность работы .

5/. Гидравлический коэффициент полезного действия одной ступени собственно насоса независимо от условий

трубопровода определяется следующим путем :

внутренние гидравлические сопротивления одного рабочего колеса по опытам Ч. Номоц можно принимать от 10 до 15 % даваемого колесом напора. Струя воды претерпевает изменение своего направления три раза: при входе в рабочее колесо и два раза в направляющих каналах кожуха при переходе к новой ступени давления. Считая сопротивление при повороте равным сопротивлению в колене, примем всю потерю напора для одной ступени

$$h_r = 3 \cdot \gamma \frac{W^2}{2g} = 3 \cdot 0,29 \frac{(X \cdot U)^2}{19,62} = \frac{3 \cdot 0,29 \cdot 23,2^2}{19,62} \cdot X^2 = \\ = 23,8 X^2; \text{ для } X = 0,1; \quad h_r = 0,238 \text{ м.}$$

Манометрическая высота, которую может развить одно колесо насоса, будет :

$$H_{ik} - h_r = H_{mk}$$

Вычисляя для всех ординат значение h_r , получим таблицу № 3 . -

/ см. дальше /

Таблица № 3.

X	0,1	0,2	0,3	0,4	0,5	0,6	0,7	0,8	0,9
η_{hk}	0,238	0,95	2,11	3,82	5,96	8,58	11,66	15,25	19,25
	49,762	44,95	37,89	31,18	24,04	16,62	7,64	0,75	-

Гидравлический коэффициент полезного действия одного рабочего колеса η_{hk} насоса построится по данным из отношения:

$$\eta_{hk} = \frac{H_{mk}}{H_{ik}} \quad ; \text{ для } X = 0,4 ;$$

$$\eta_{hk} = \frac{H_{mk}}{H_{ik}} = \frac{31,18}{35} = 0,89.$$

Этот коэффициент показывает гидравлические потери на трение внутри насоса, в данном случае :

$$100 - 89 = 11\%.$$

или 0,11 . 136 = 14,96 матра напора .

Значения η_{hk} приведены в таблице № 4 .

Таблица № 4.

X	0,1	0,2	0,3	0,4	0,5	0,6	0,7	0,8	0,9
η_{ch}	0,996	0,979	0,948	0,89	0,8	0,66	0,396	0,047	

Для построения кривой механического коэффициента полезного действия необходимо сначала построить кривые индикаторной и эффективной мощности по формулам .

Индикаторная мощность всего насоса :

$$N_i = \frac{1000 \cdot Q_s \cdot H_{ik} \cdot Z}{75} = 66,6 \cdot Q_s \cdot H_{ik} \quad \text{последнее выражение}$$

значение для N_i получено при $Z = 5$

значения Q_s и H_{ik} берутся из построенных диаграмм .
однотипные данные в табл. № 5 .

Таблица № 5.

0,1	0,2	0,3	0,4	0,5	0,6	0,7	0,8	0,9
30,0125	0,025	0,037	0,05	0,062	0,075	0,087	0,1	
50	45	40	35	30	26	17	11	
41,6	74	98,5	116	124	130	98,5	73,4	

Потери на механическое трение в подшипниках и сальниках и потери на трение воды о наружные стенки дисков всех пяти рабочих колес:

$$N_0 = 0,00543 U_i^3 \cdot V_i^2 \cdot Z + 2,8 \cdot d_o^3 n =$$

$$= 0,00543 \cdot 23,2^3 \cdot 0,15^2 \cdot 5 + 2,8 \cdot 0,063^3 \cdot 1470 = \\ = 7,8 + 1,03 = 8,83 \text{ НР}.$$

Очевидно, что для ступенчатого насоса с Z ступенями при двух подшипниках и сальниках необходимо подсчитывать по формуле:

$$N'_0 = 0,00543 U_i^3 \cdot V_i^2 \cdot Z + 2,8 \cdot d_o^3 \cdot n.$$

Имея значения N'_i для всех ординат X^a , подсчитываем механический коэффициент полезного действия всего насоса:

η_m :

$$\eta_m = \frac{N'_i}{N'_i + N_0}$$

и сводим результаты в таблицы № 6.

Таблица № 6. / см. дальше /

Кривую изменения η_u общего коэффициента установки получим перемножением гидравлического коэффициента

Таблица № 6.

0,1	0,2	0,3	0,4	0,5	0,6	0,7	0,8	0,9	1,0
41,6	74,0	98,5	116	129	130	98,5	73,4	45	0
0,825	0,895	0,917	<u>0,93</u>	0,938	0,938	0,915	0,885	0,825	0

становки на механический коэффициент насоса

$$\eta'_w = \eta'_h \cdot \eta'_m$$

Значения η'_h и η'_m для соответственных значений надо брать из построенных для них кривых

Таблица № 7

X	0,1	0,2	0,3	0,4	0,5	0,6	0,7
η'_h	10,48	0,49	0,6	0,687	0,8	0,925	1,24
η'_m	0,825	0,895	0,917	<u>0,93</u>	0,938	0,938	0,915
η'_w	0,395	0,438	0,55	<u>0,638</u>	0,75	0,867	1,13

Кривая общего коэффициента полезного действия упенчатого насоса вне условий установки.

$$\eta_{on} = \eta_{hk} \cdot \eta_m$$

Строится по точкам таблицы № 8, так как гидравлический коэффициент полезного действия одной ступени будет в то же время гидравлическим коэффициентом полезного действия всего насоса . -

Таблица № 8.

X	0,1	0,2	0,3	0,4	0,5	0,6	0,7
η_{hk}	0,996	0,979	0,948	0,89	0,8	0,66	0,39
η_m	0,825	0,895	0,917	0,93	0,938	0,938	0,91
η_{on}	0,822	0,875	0,87	0,827	0,743	0,62	0,36

Кривая изменения эффективной мощности насоса получится вычислением :

$$N_e = \frac{N_i}{\eta_m}$$

Таблица № 9.

X	0,1	0,2	0,3	0,4	0,5	0,6
N_e	50,4	82,6	107,0	125	132	138,5

Рассмотрение характеристических кривых, полученных подсчетом, убеждает нас, что спроектированный тупенчатый насос будет поднимать столб воды на высоту

$H_g = 130$ мтр. по трубопроводу диаметром $d_{\text{т}} = 15$ мтр. осуществляя подачу $Q_h = 0,05 \text{ м}^3/\text{сек.}$ при общем коэффициенте полезного действия $\eta'_w = 0,638$

Производительность может быть повышена до $Q_{\text{max.}} = 0,056 \text{ м}^3/\text{сек.}$ дальнейшее ее увеличение потребует изменения числа оборотов или увеличения диаметра трубопровода.

Ордината $A-A$, проведенная через точку пересечения кривой манометрического напора одного колеса $H_{\text{мк}}$ и кривой манометрического напора трубопровода H' является предельной для возможности работы насоса.

Дальнейшее увеличение открытия задвижки повлечет за собой отказ в подаче воды насосам.

При своей максимальной производительности насос потребует мощность $N_e = 125 \text{ кВт.}$

Считая коэффициент ременной передачи $\eta_r = 85$ и коэффициент полезного действия электромотора $\eta_e = 0,8$, определяем мощность электромотора

66,68

$$\frac{N_m}{\eta_p - \eta_e} = \frac{125}{0,85 - 0,8} = 185 \text{ НР.}$$

Сфера возможной работы насоса, как видно из диаграммы можно принять в пределах от $0,3X$ до $0,45X$. в этих пределах коэффициент полезного действия насоса сравнительно мало падает. Общий коэффициент полезного действия насоса для открытия регулирующей задвижки на 0,3 будет $\eta_{on} = 0,87$.

Рабочая сфера может быть значительно расширена, если диаметр трубопровода d_p увеличить и пересчитать все величины, связанные с этим изменением.

Комбинацией данных и пробными подсчетами проектировщик может добиться желаемых результатов в смысле улучшения общего коэффициента полезного действия насоса, запаса напора и производительности.

= * * * * *

г. Днепропетровск.

I / III - 1930 г о д а .



жнеезды онда ях, яко бы итобад лоясися тондо
жатеа "Харъо садъ" да и виши азълти оною
яще яко бы ях и на то подо чен сокол тишина рече. Кандо же
и отвѣтъ копъ тишина рече "Чиръо", тобдай сакъ о шахтѣ
бъ въ земляде. Когданикуто въ иницио въдъ яко бы и то

тв. д. с. б. 29. 10.

шахтѣ о шахтѣ и то томъ итобад яко бы и то
етъ и отвѣтъ копъ сакъ о шахтѣ въдъ яко бы и то

шахтѣ итобад яко бы и то томъ итобад яко бы и то

шахтѣ итобад яко бы и то томъ итобад яко бы и то

шахтѣ итобад яко бы и то томъ итобад яко бы и то

шахтѣ итобад яко бы и то томъ итобад яко бы и то

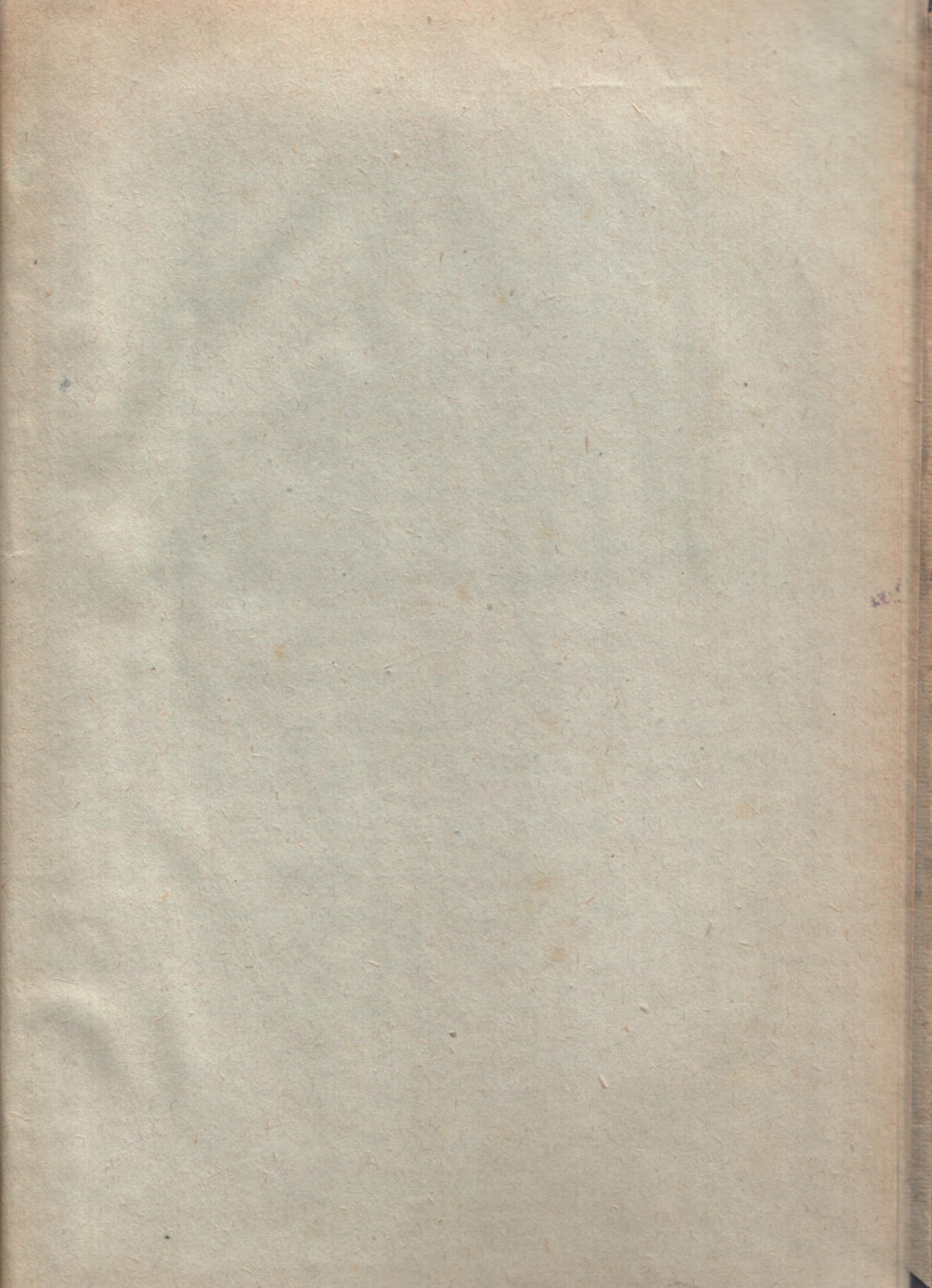
шахтѣ итобад яко бы и то томъ итобад яко бы и то

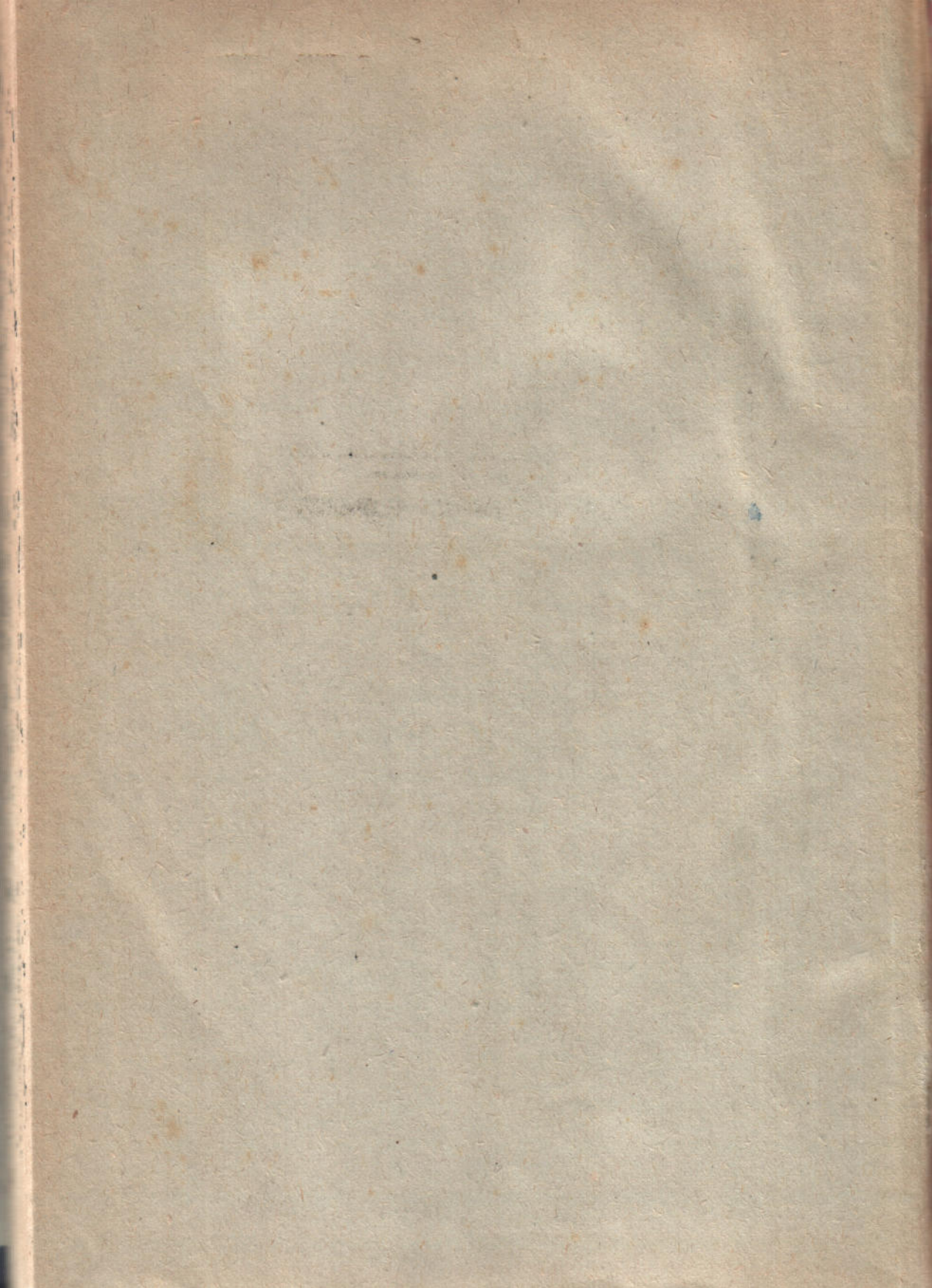
шахтѣ итобад яко бы и то томъ итобад яко бы и то

шахтѣ итобад яко бы и то томъ итобад яко бы и то

Open

६८





SAHARAHEORO TRY TEPKINY.

NOBEPPHTP KHINKKY HE M3HUME

Цена 1 руб. 25 коп.